

Fig. 1 A

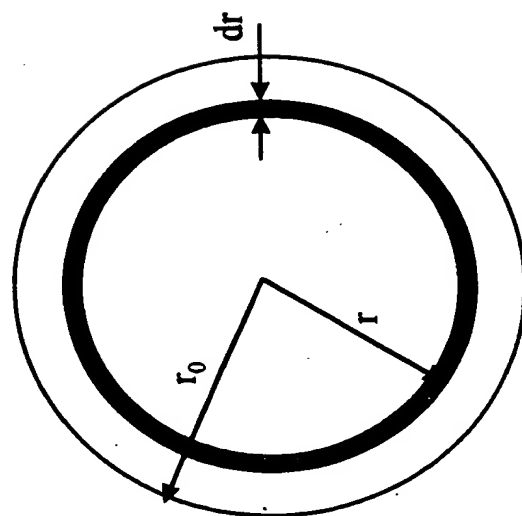


Fig. 1 B

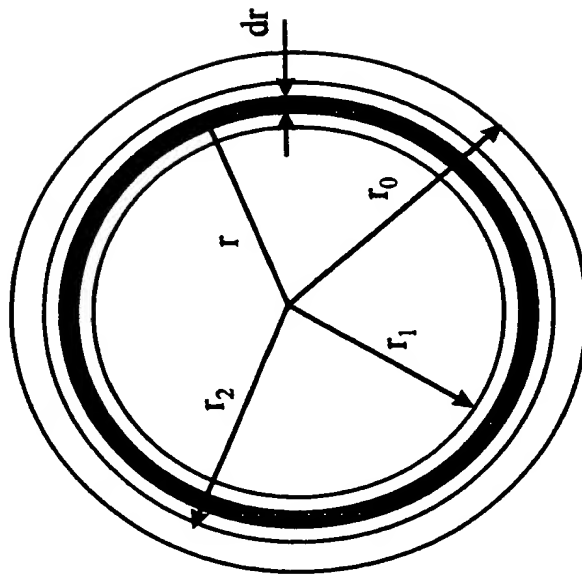


Fig. 2

FIG. 4A

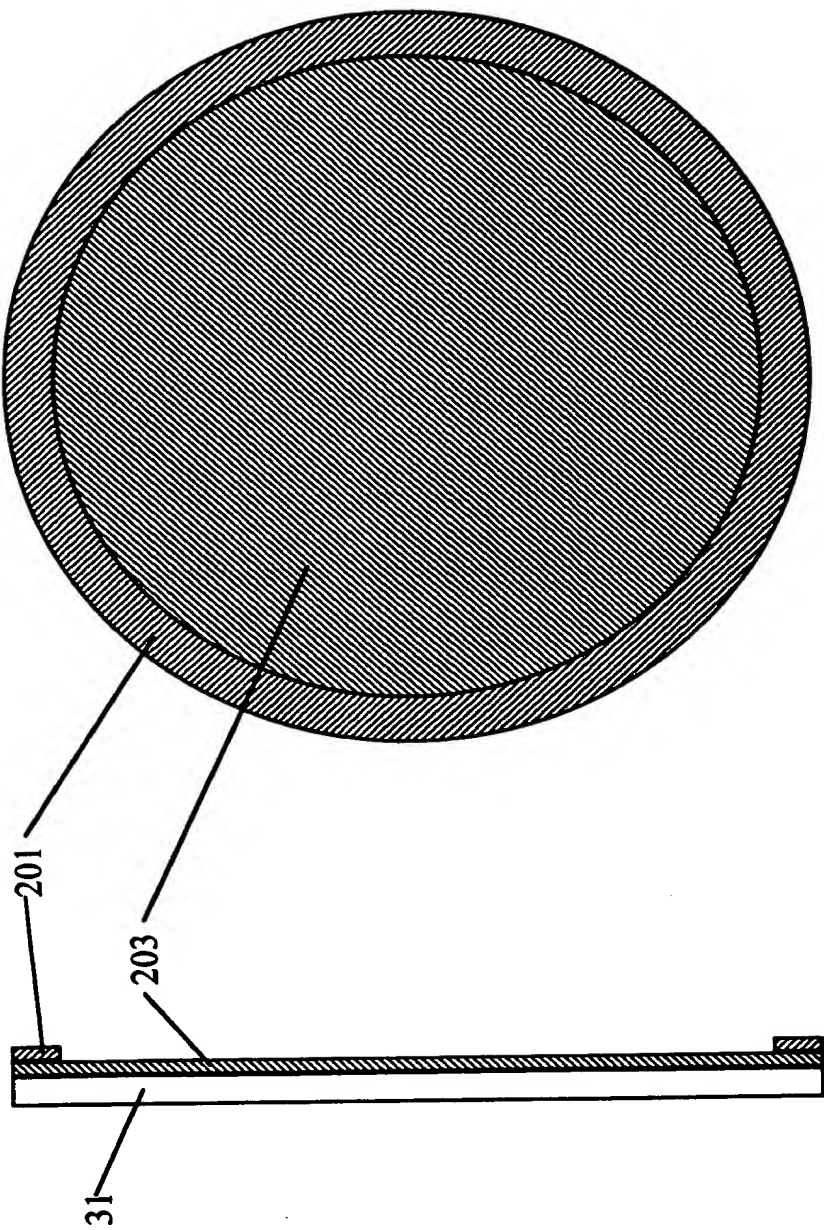


Fig. 4 B

Fig. 4 A

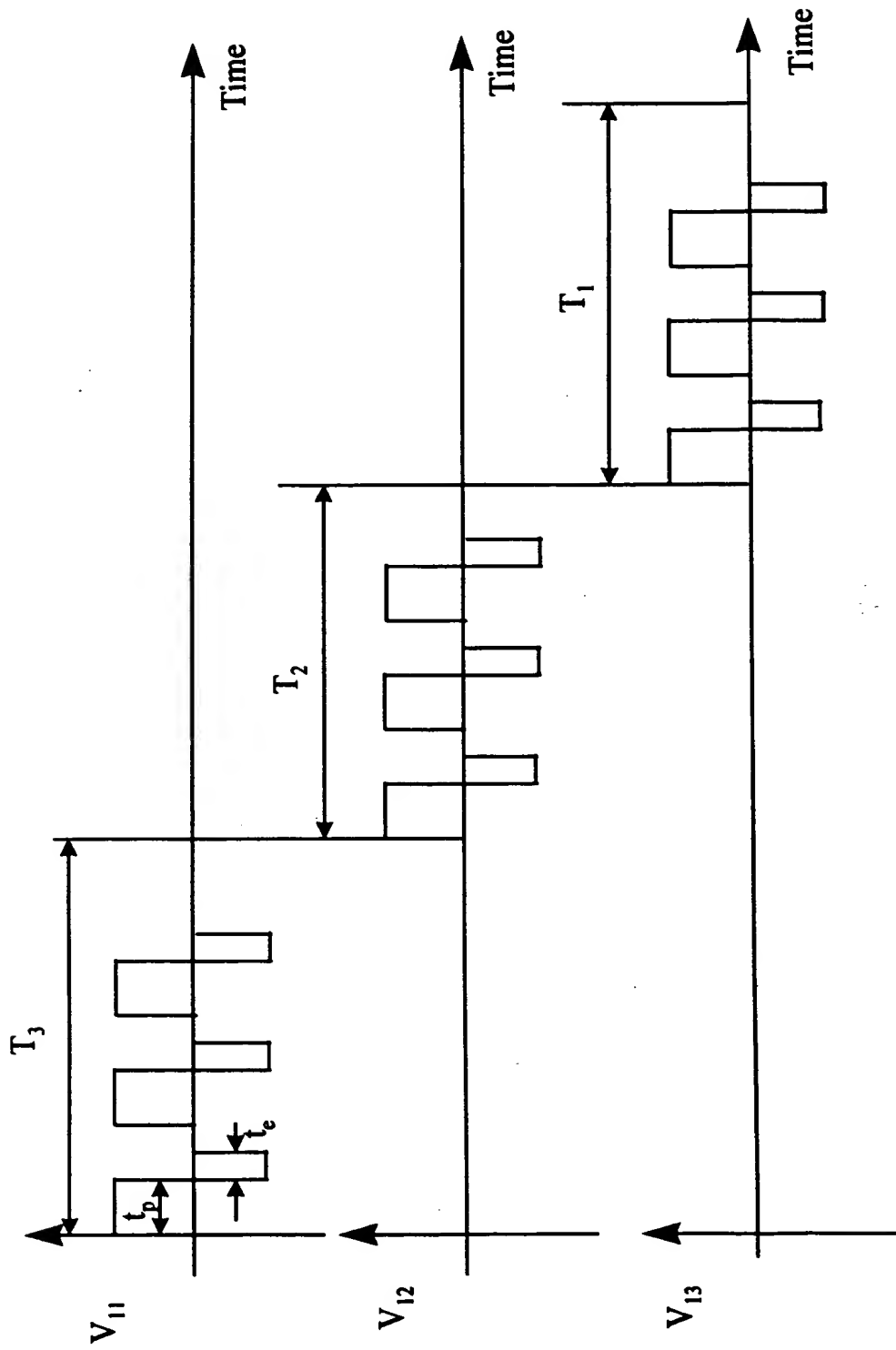


Fig. 5

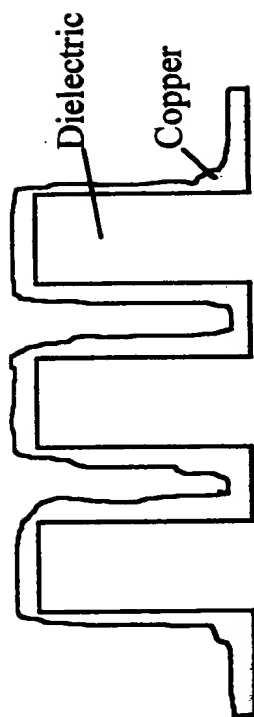


Fig. 6 A Large Ratio of t_e/t_p

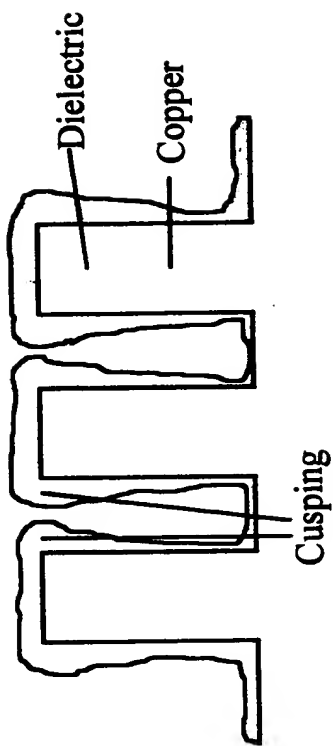


Fig. 6 B Small Ratio of t_e/t_p

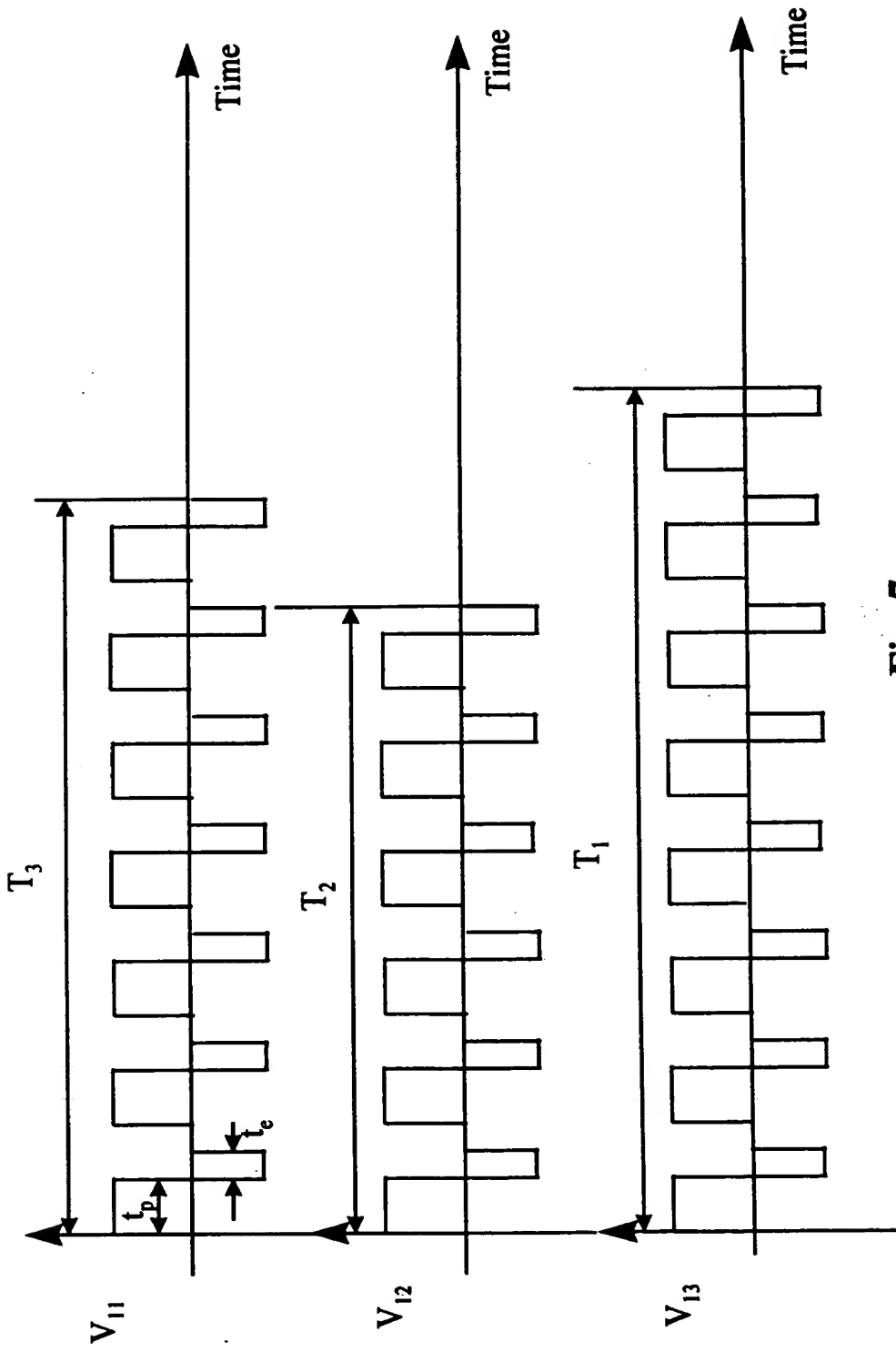


Fig. 7

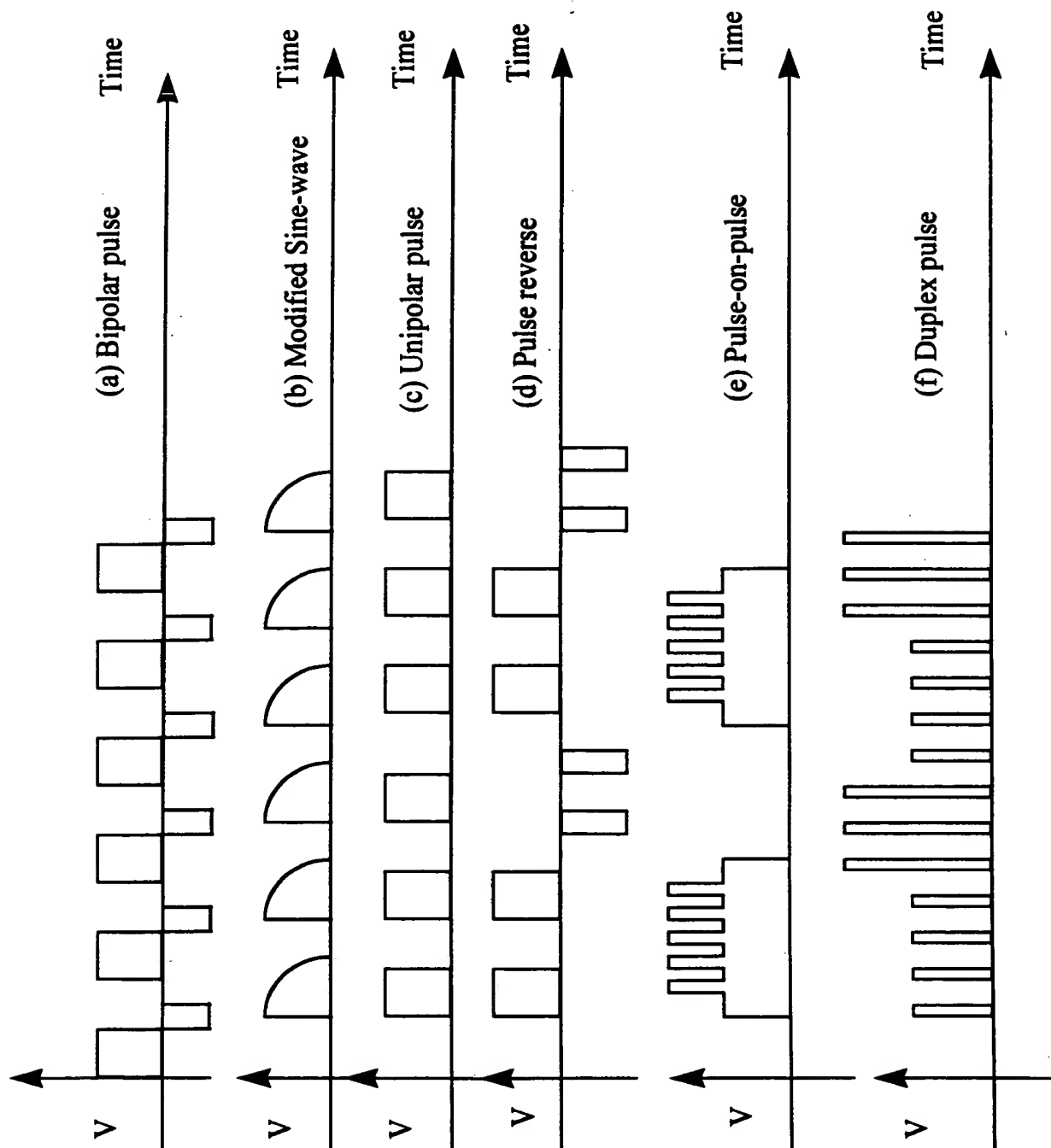


Fig. 8

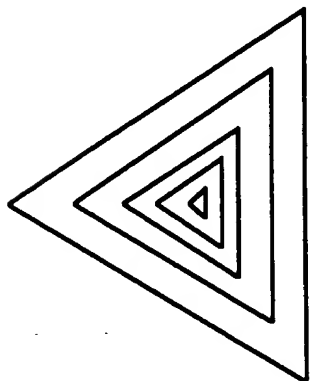


Fig. 9 A

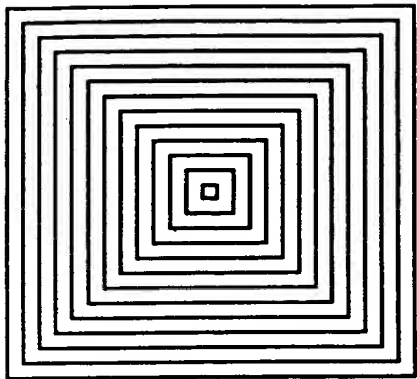


Fig. 9 B

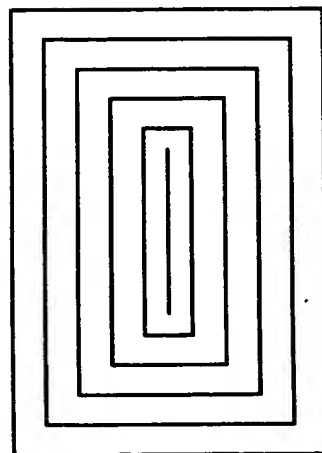


Fig. 9 C

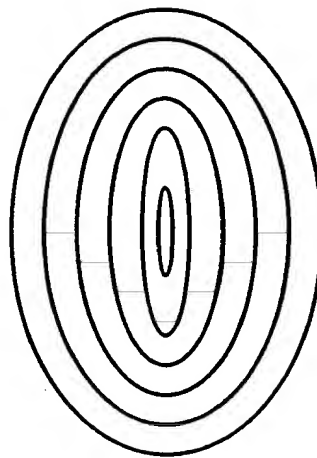


Fig. 9 D

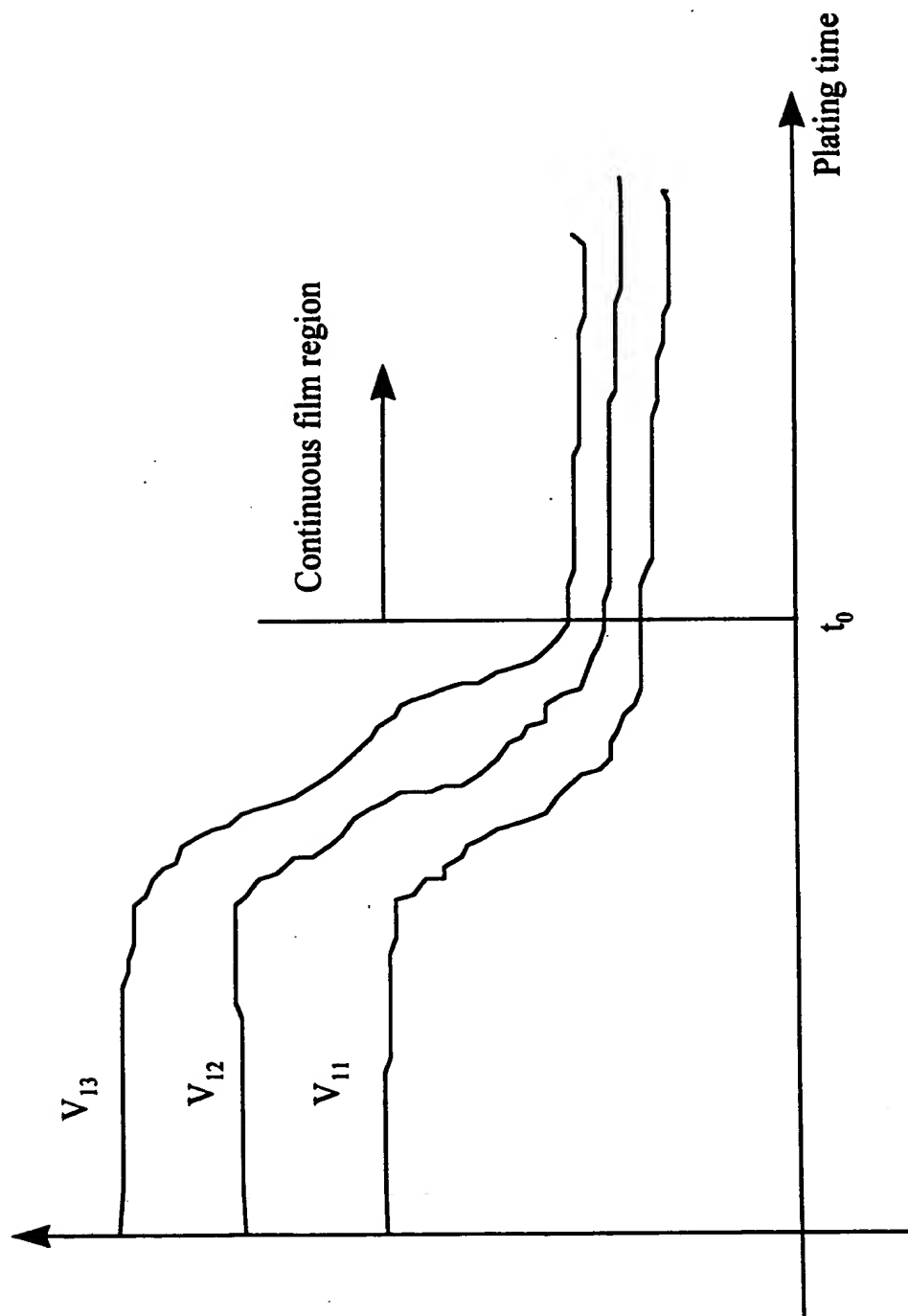
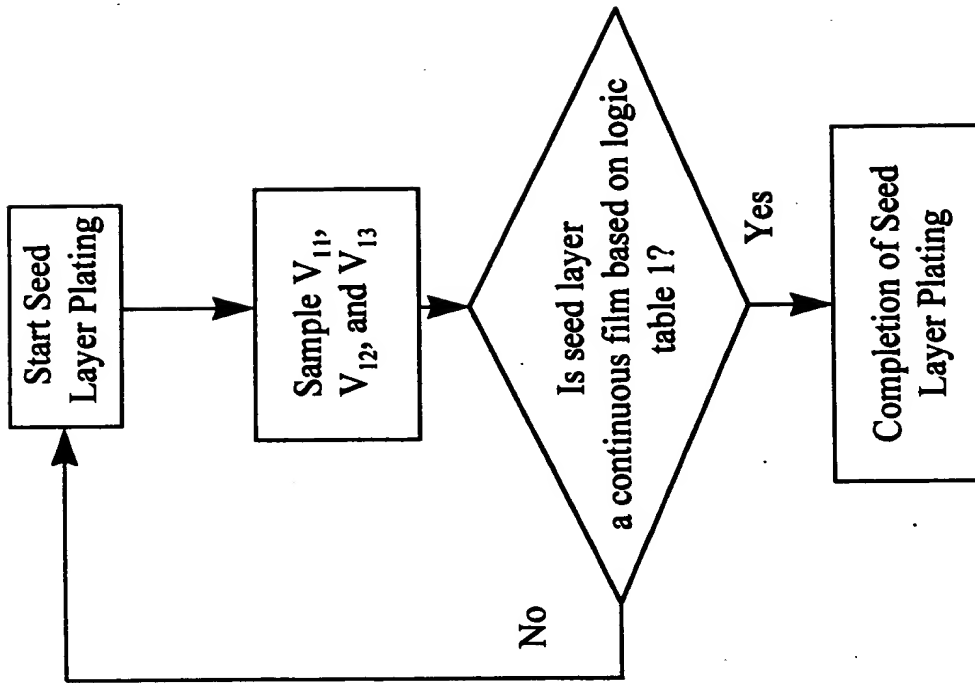
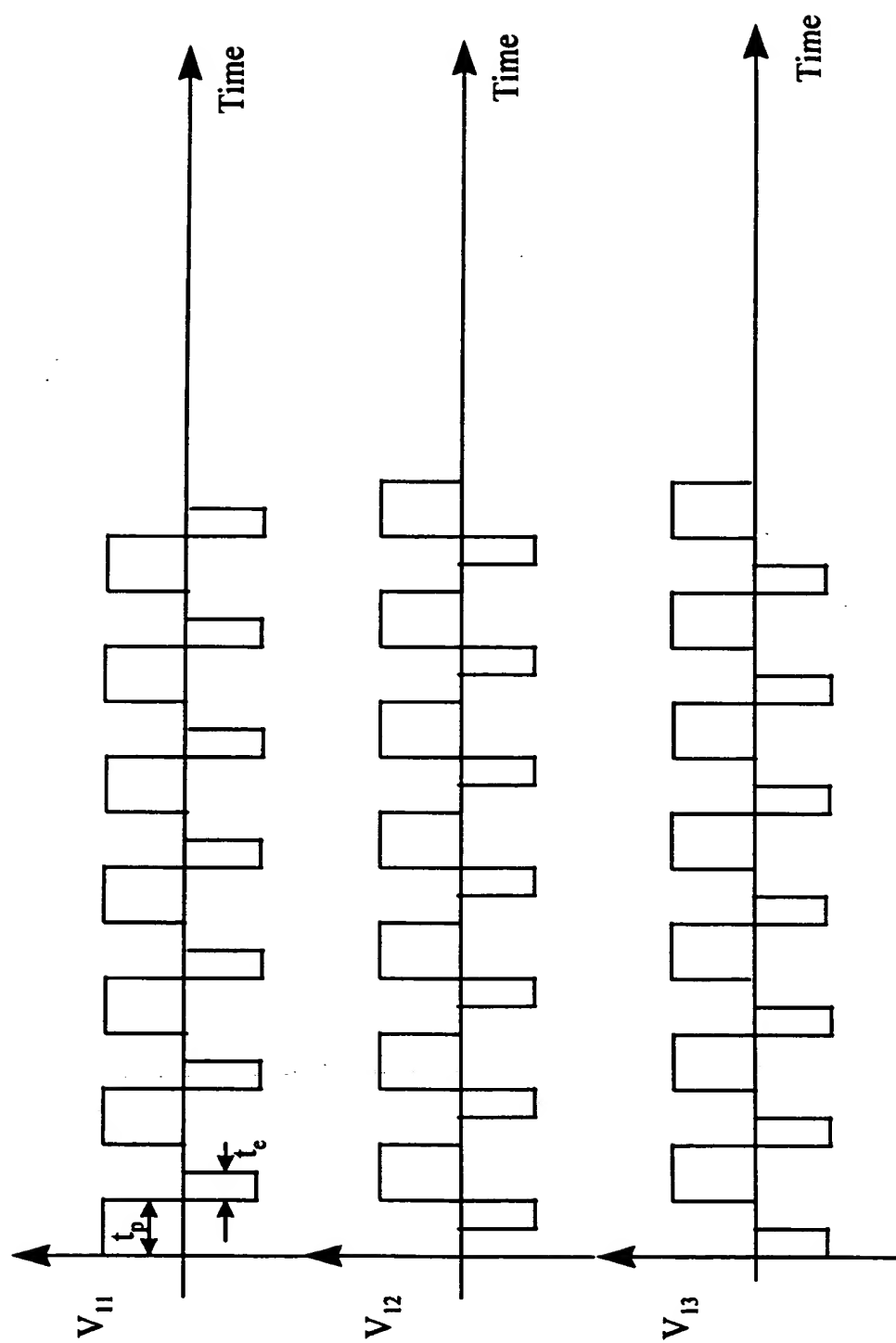
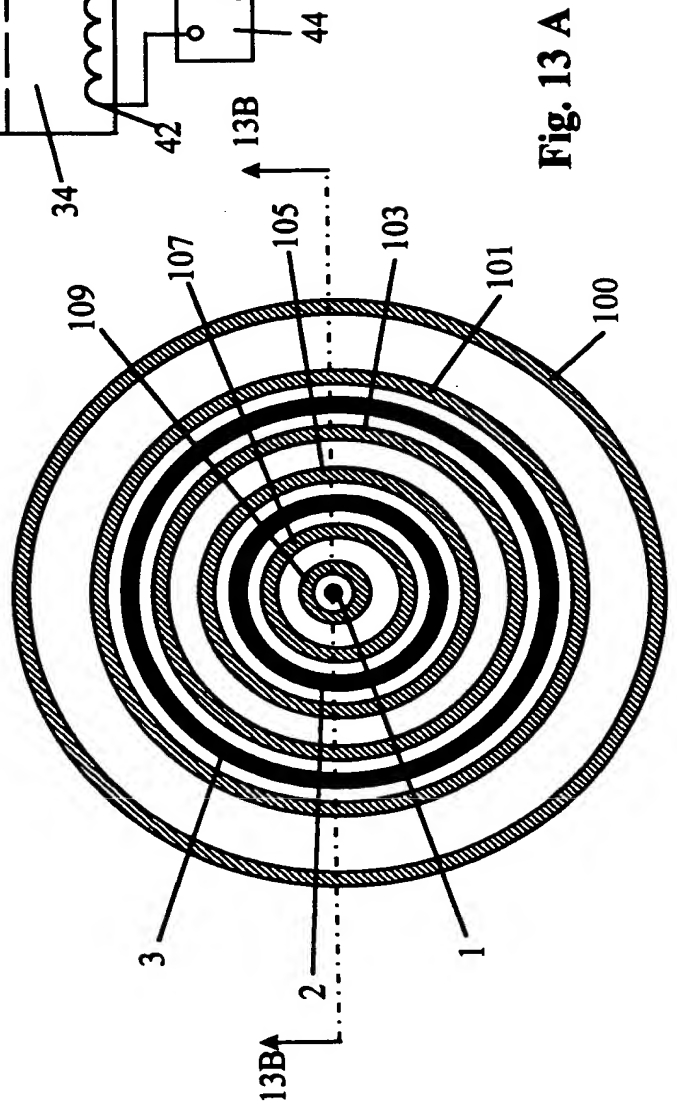
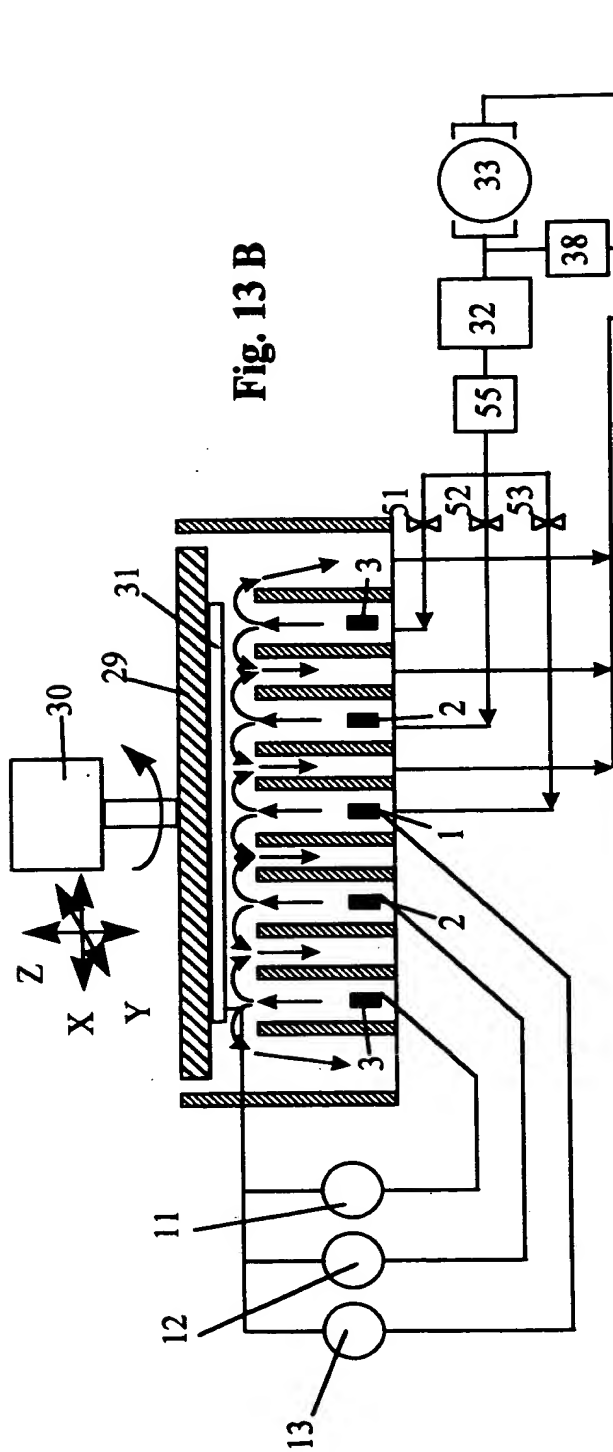
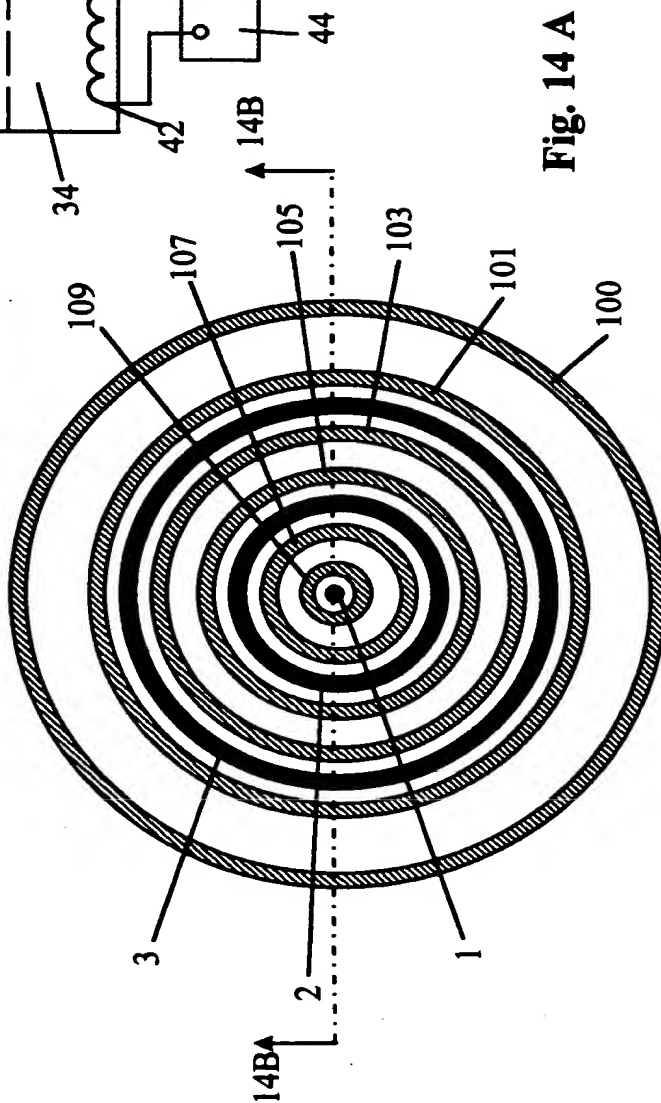
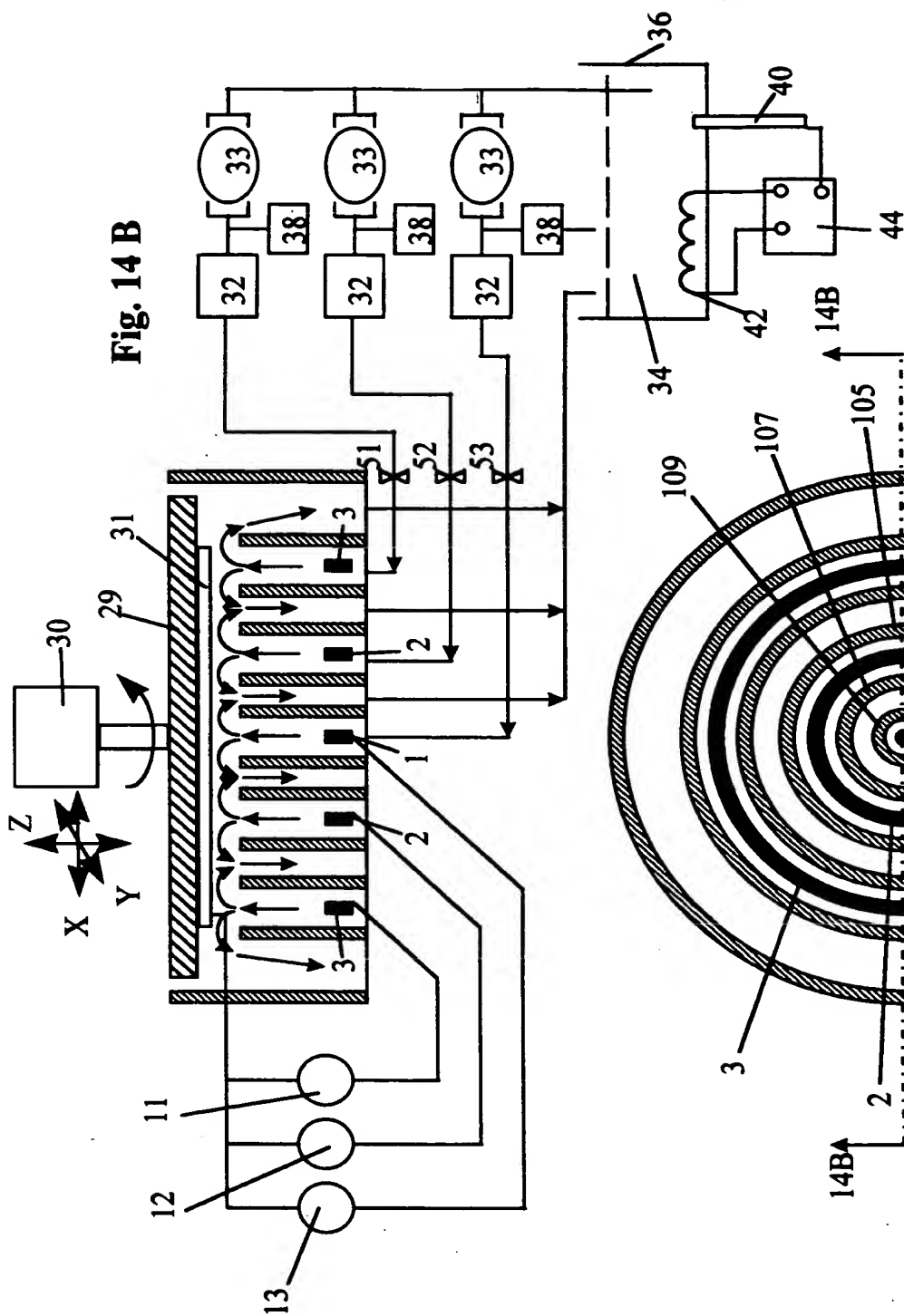


Fig. 10

**Fig. 11**

**Fig.12**





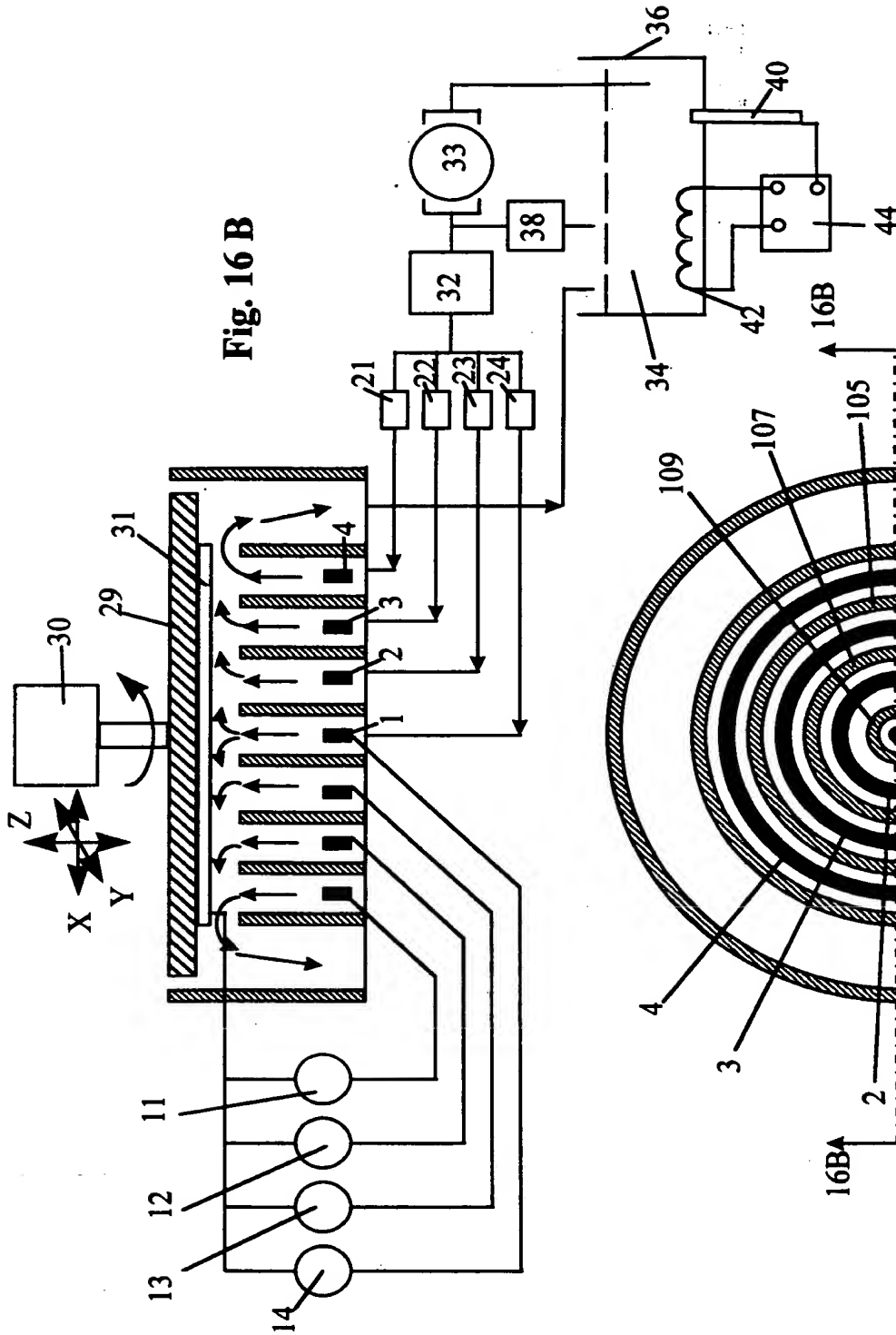


Fig. 16 B

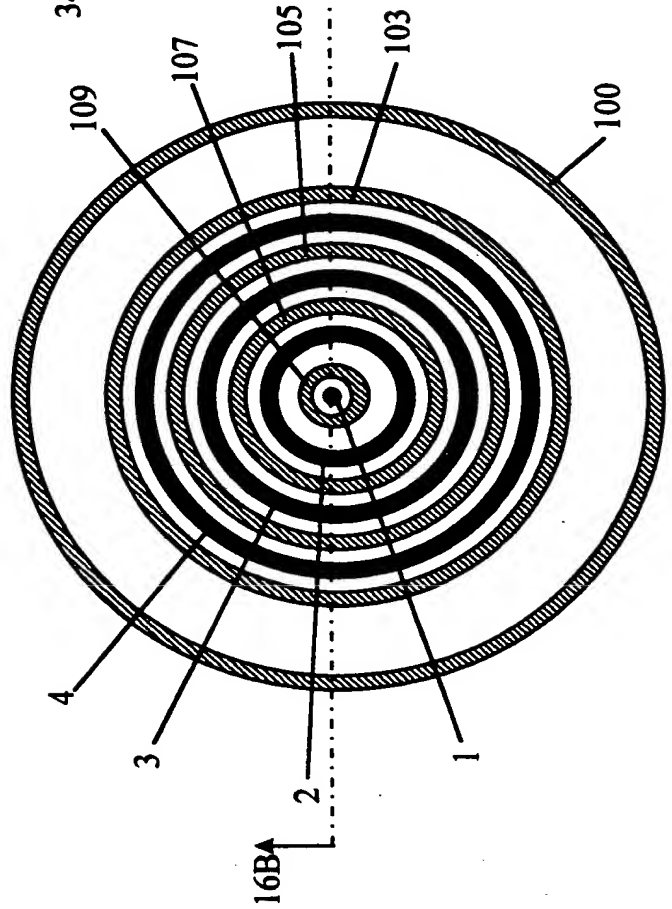


Fig. 16 A

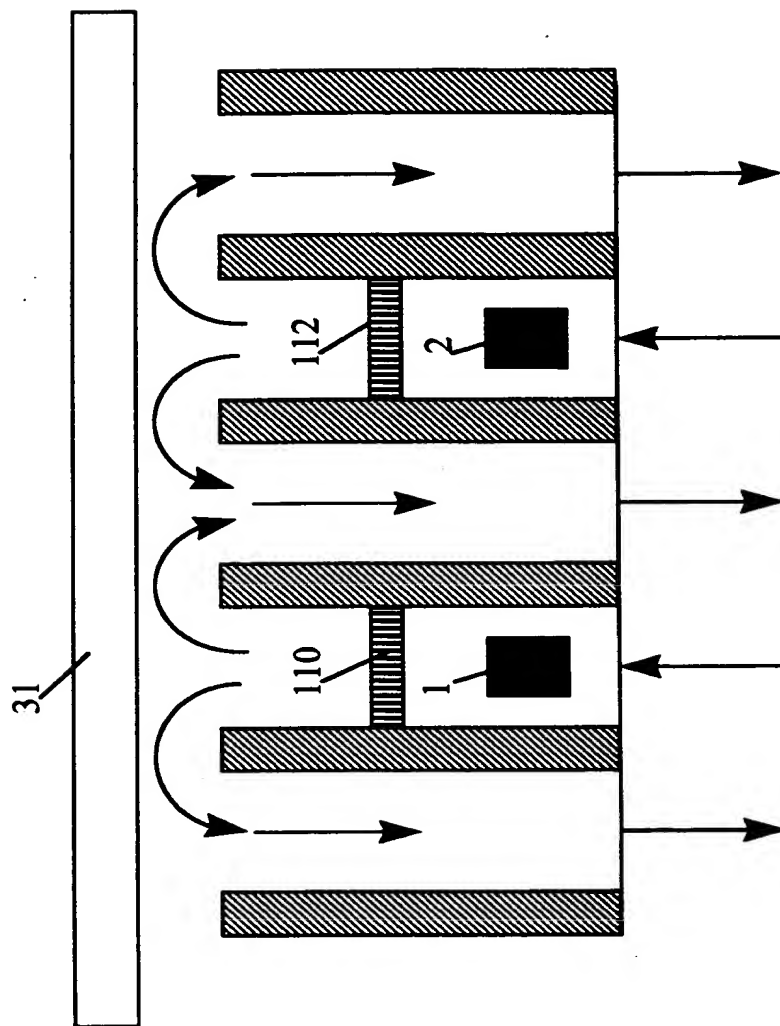


Fig. 17

FIG. 18A

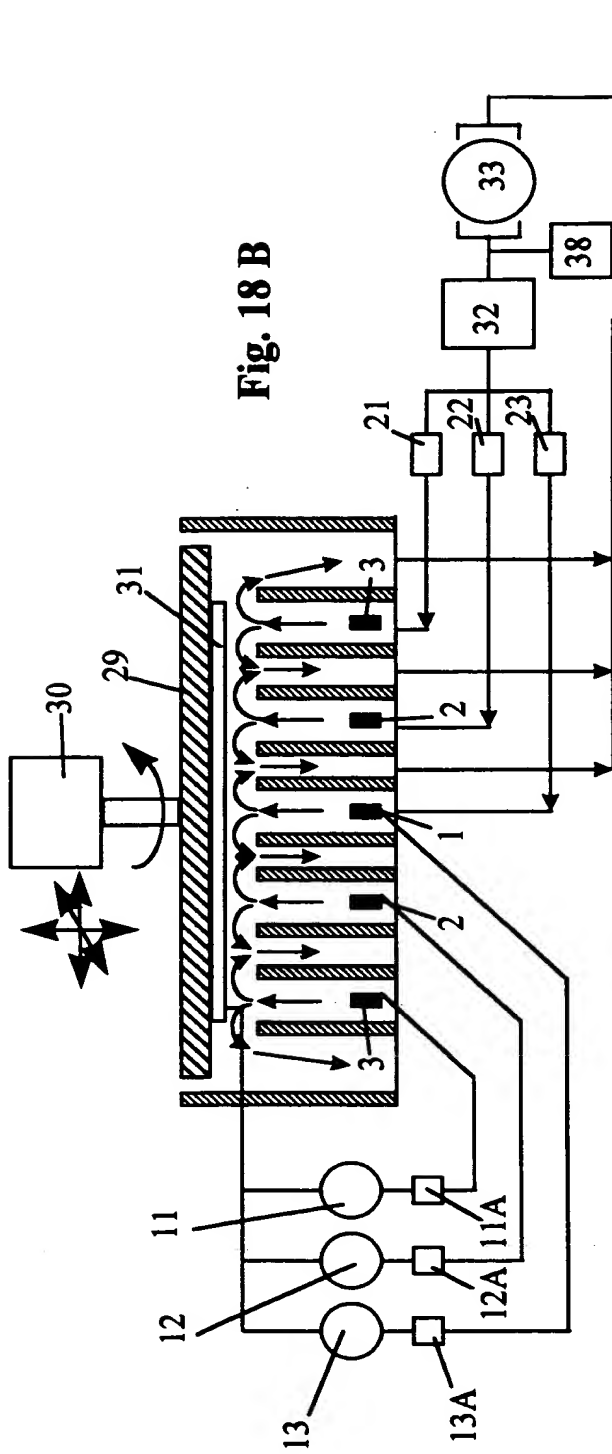
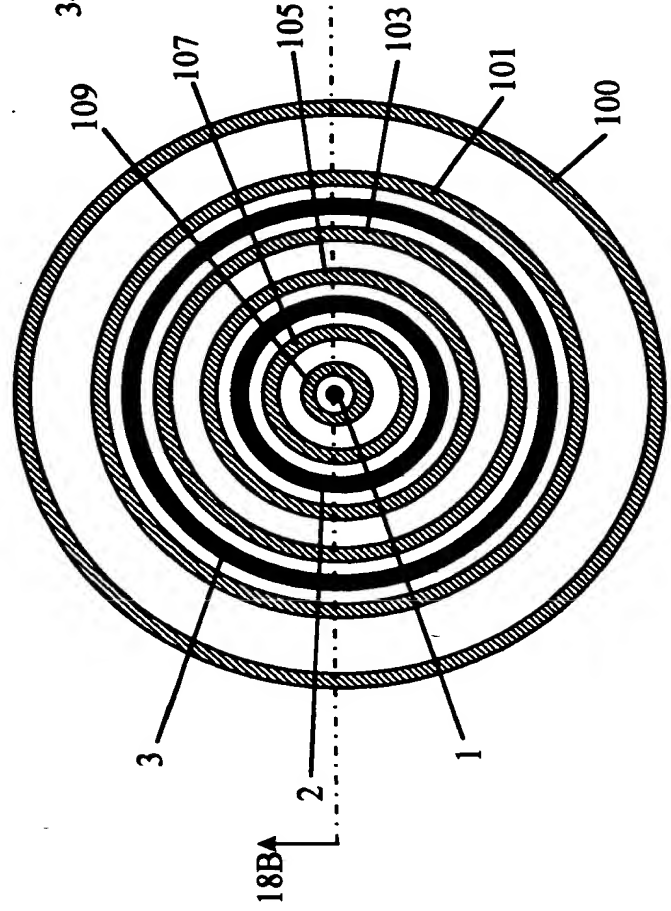


Fig. 18 A

Fig. 18 B



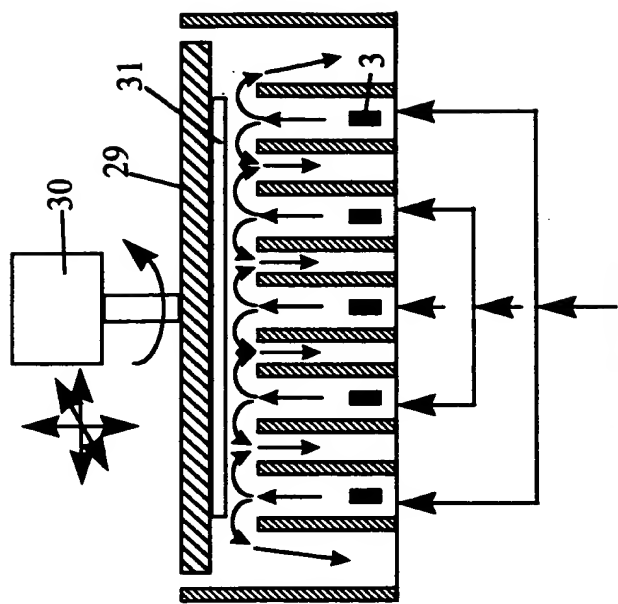


Fig. 19 B

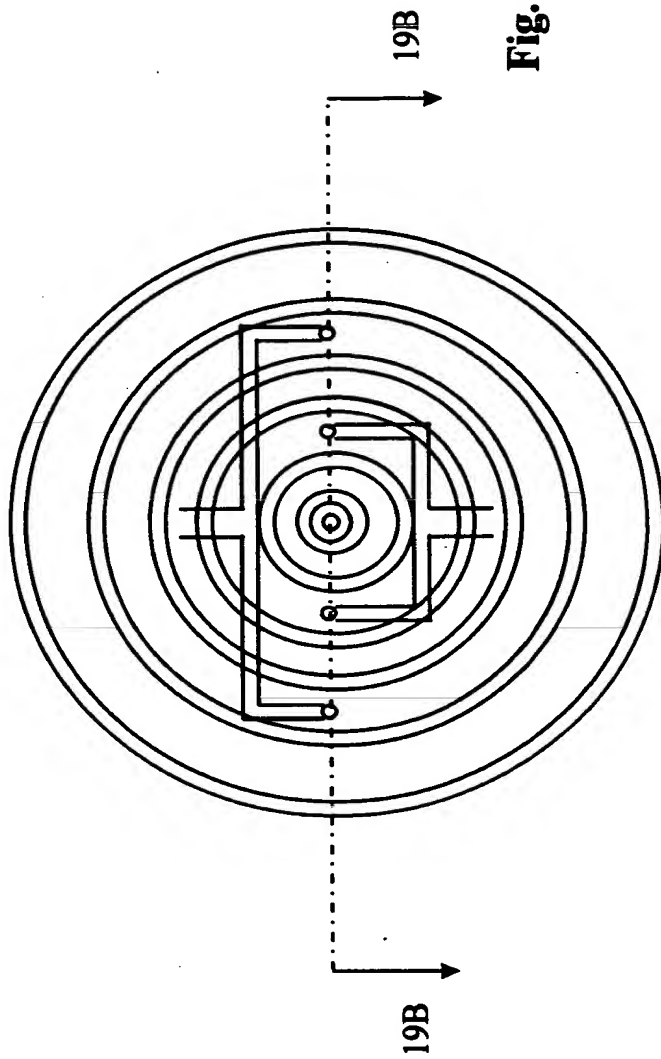


Fig. 19 A

FIG. 20A

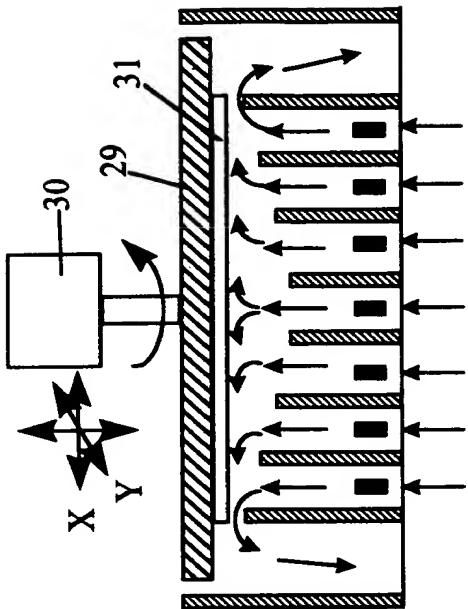
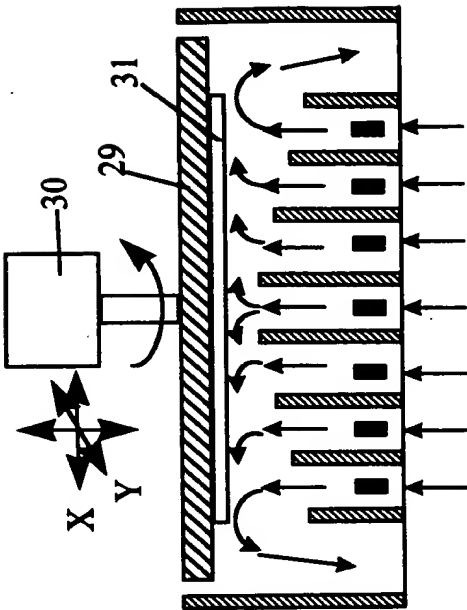


Fig. 20 A

Fig. 20 B



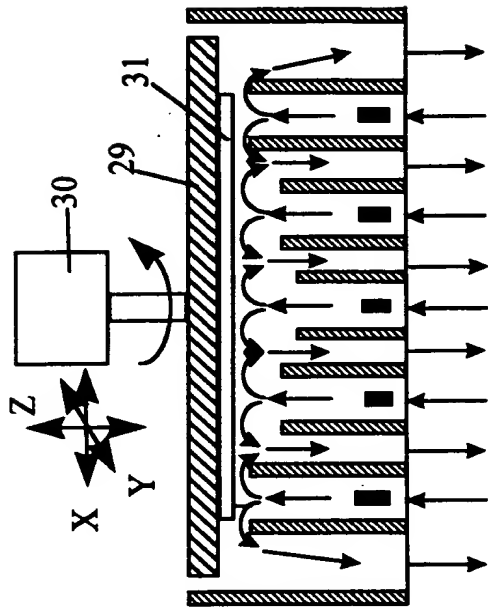


Fig. 21 A

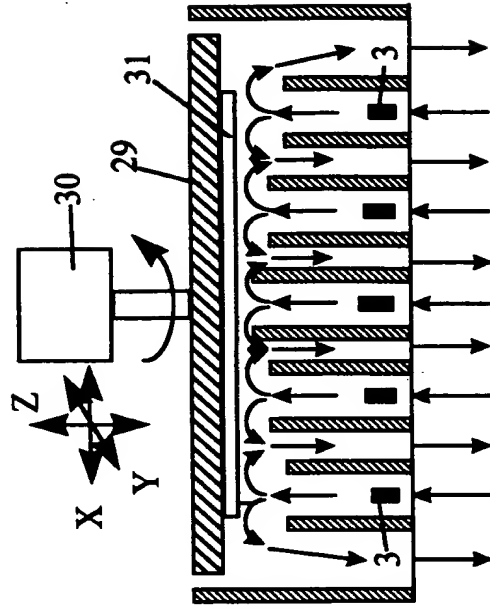
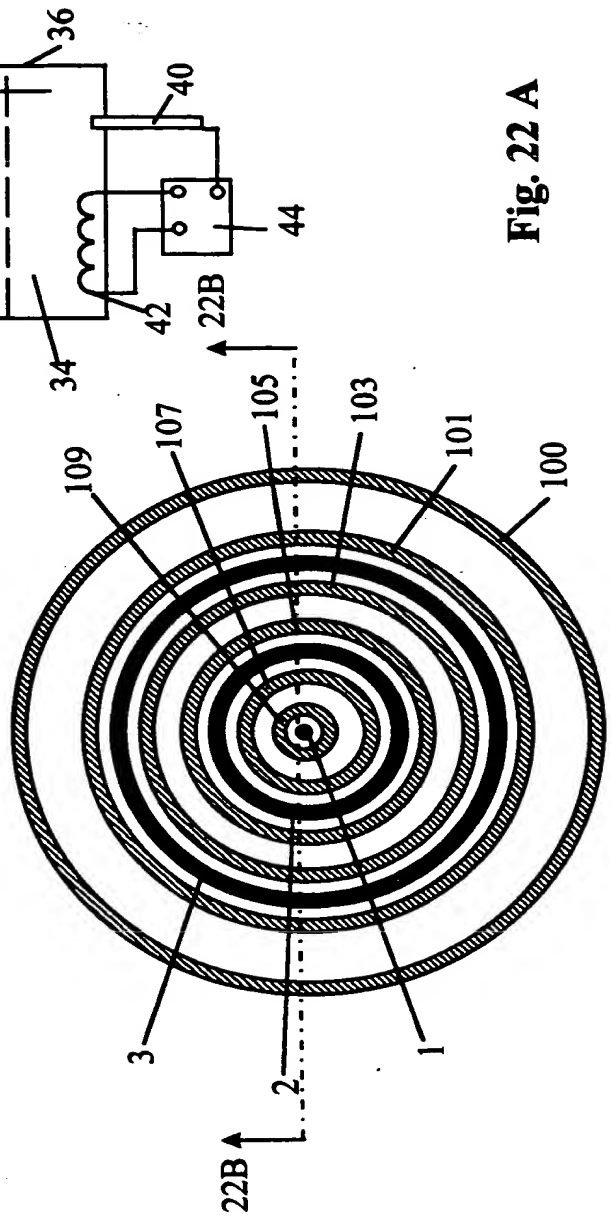
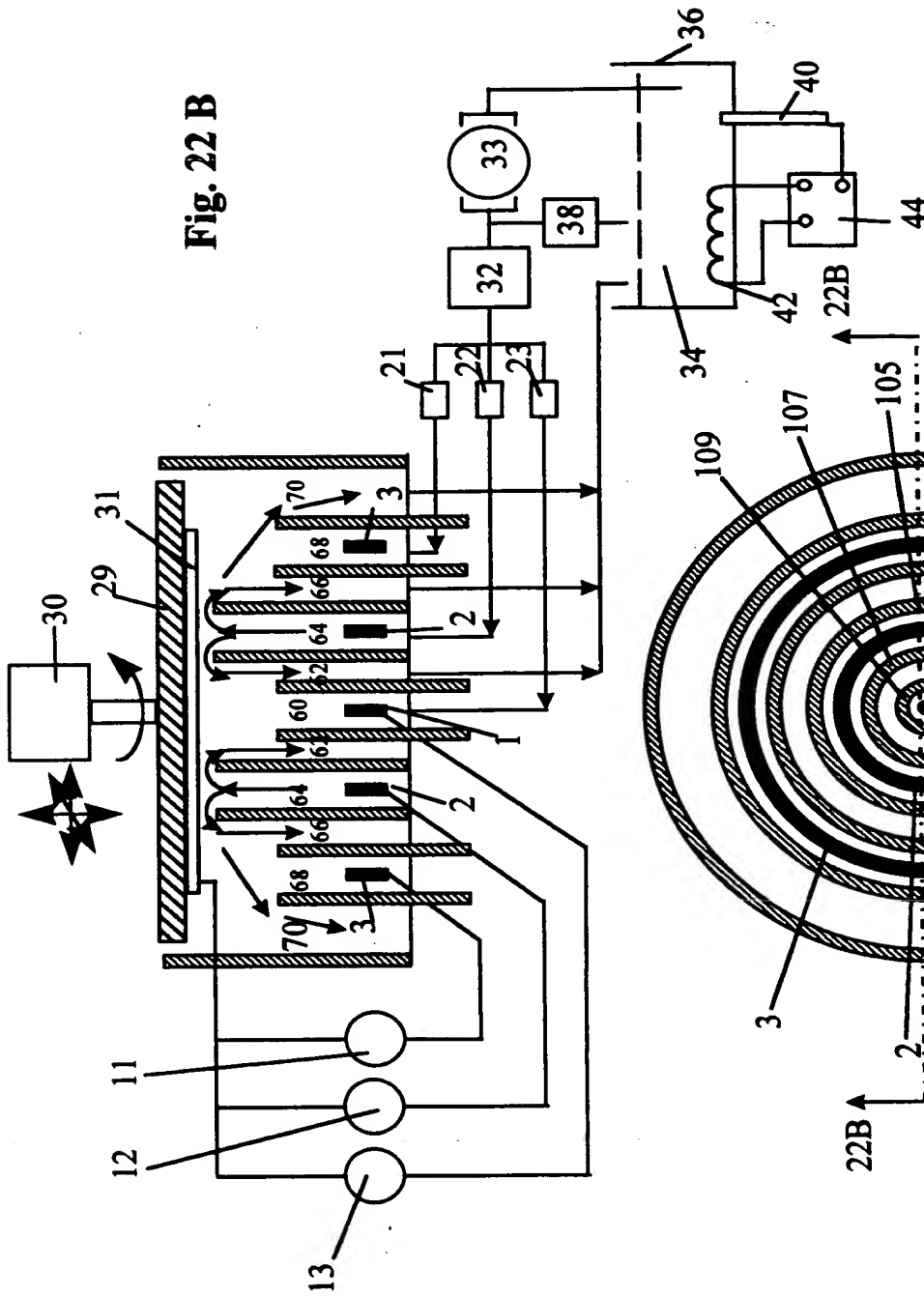


Fig. 21 B



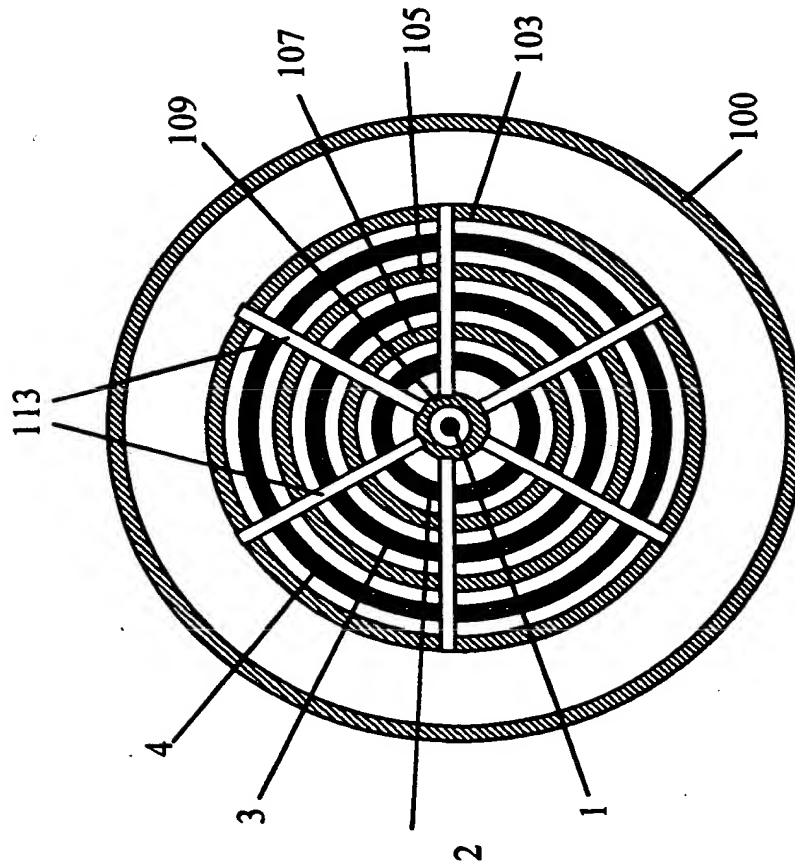


Fig. 23 A

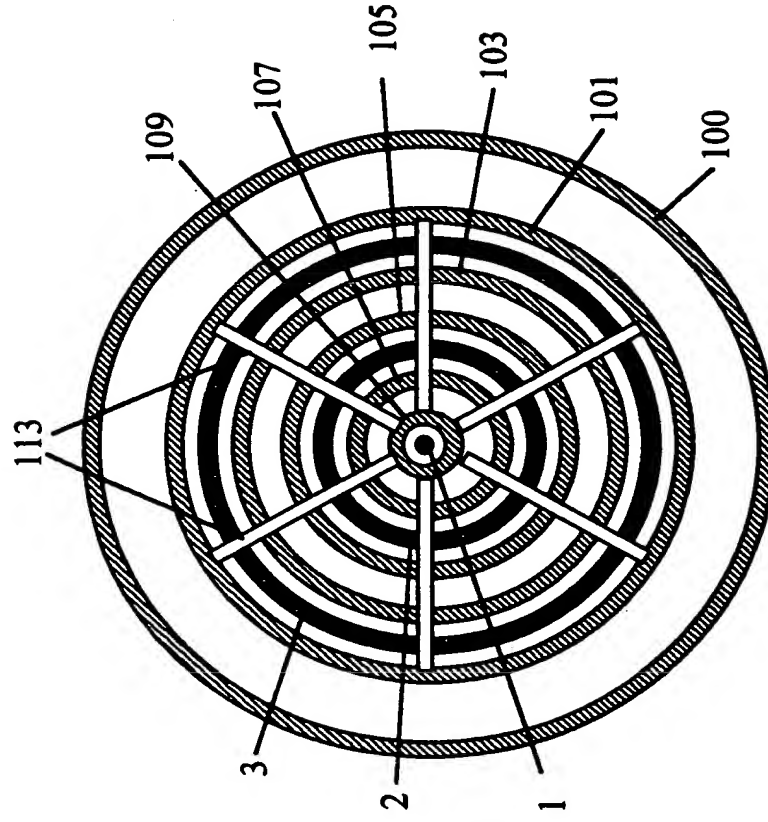


Fig. 23B

FIG. 24A and FIG. 24B

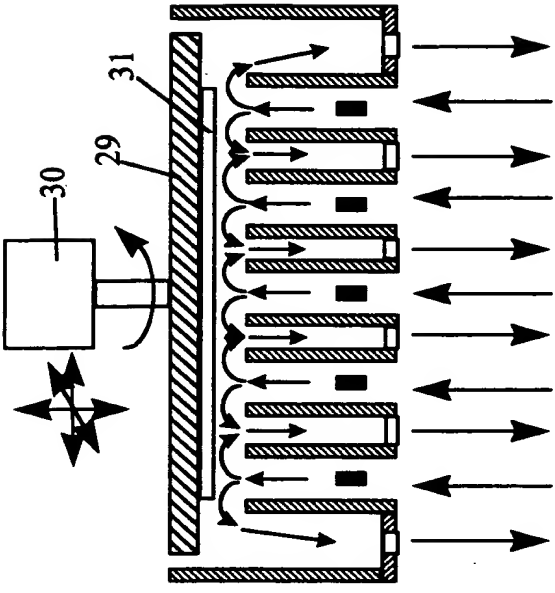


Fig. 24 B

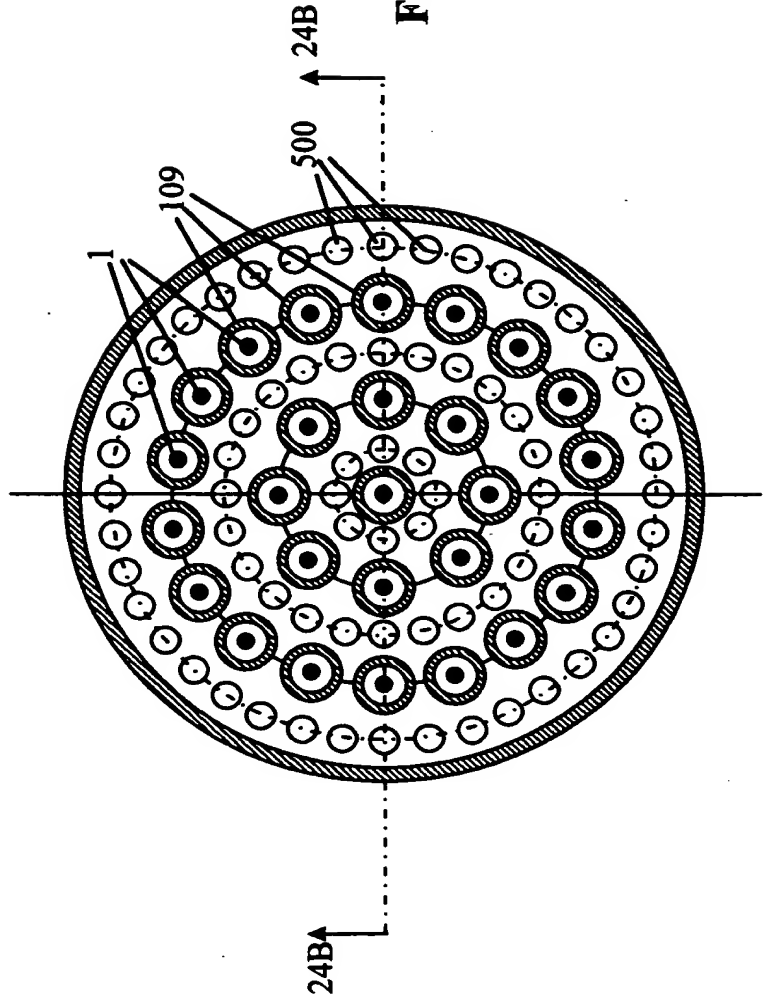


Fig. 24 A

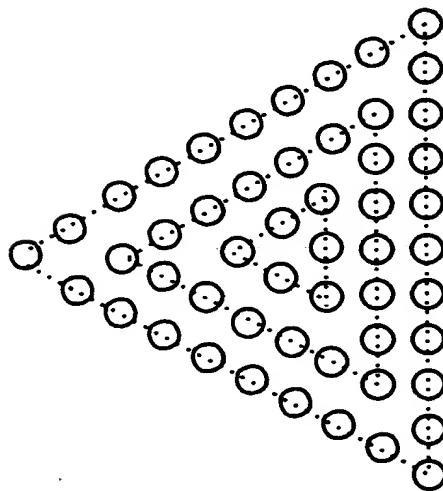


Fig. 25 A

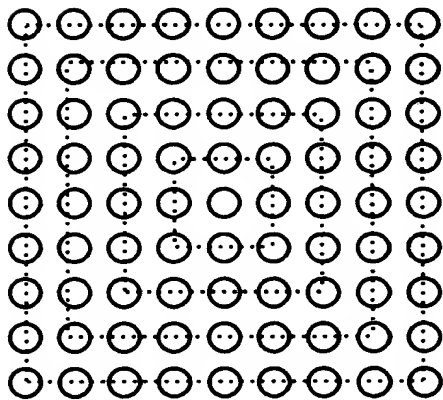


Fig. 25 B

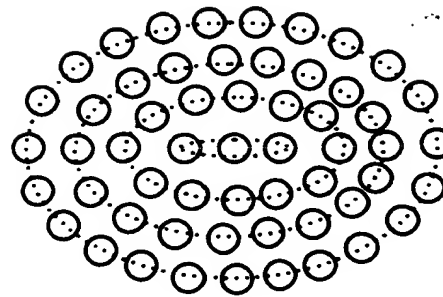


Fig. 25 C

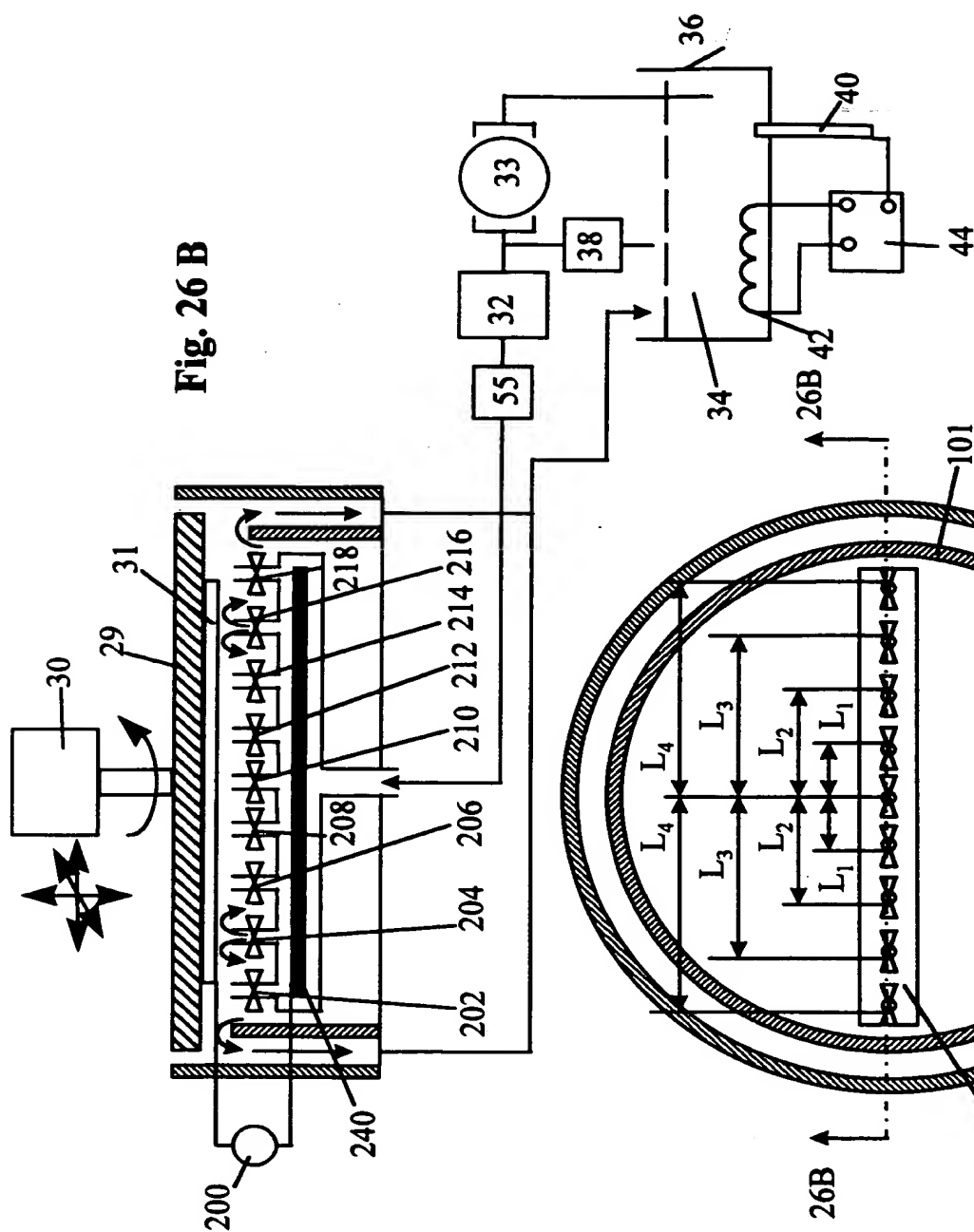


Fig. 26 B

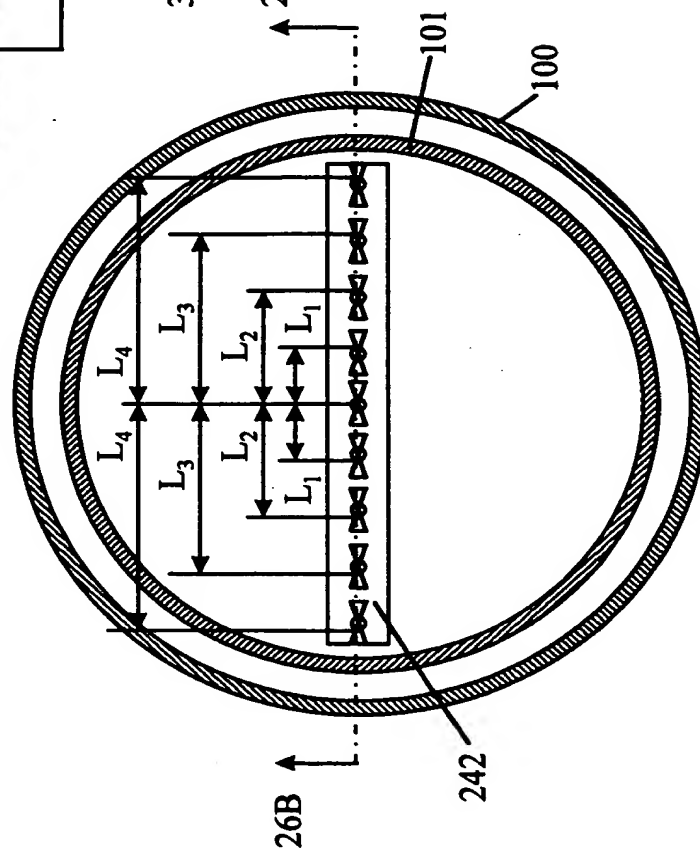


Fig. 26A

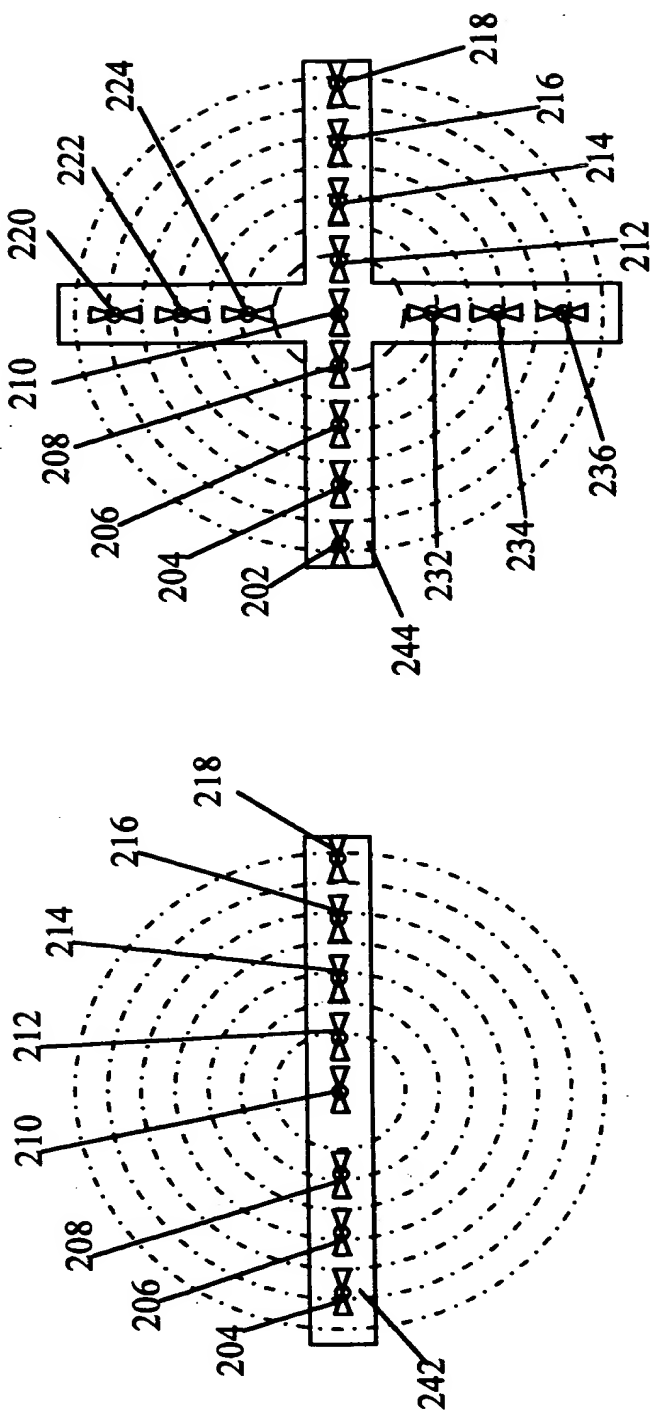


Fig. 27

Fig. 28

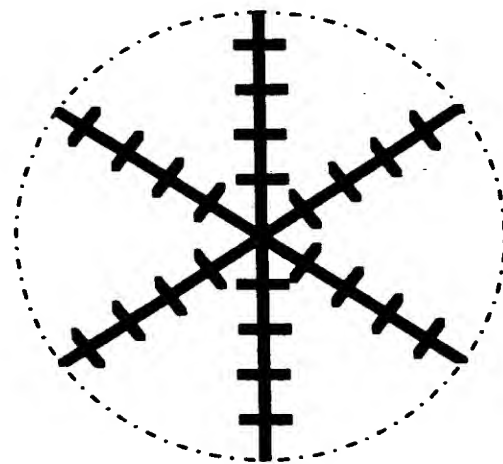


Fig. 29A

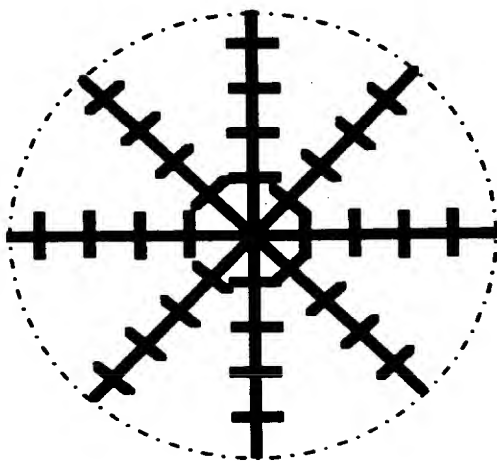


Fig. 29B

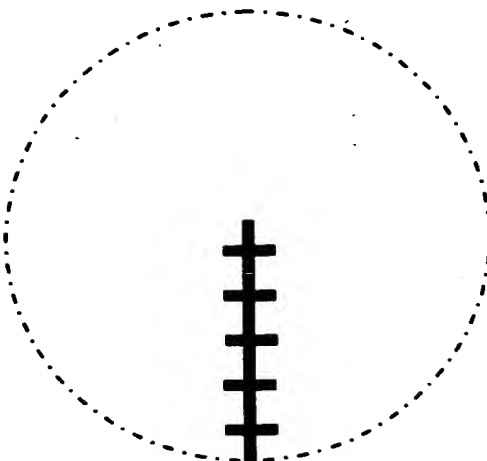


Fig. 29C

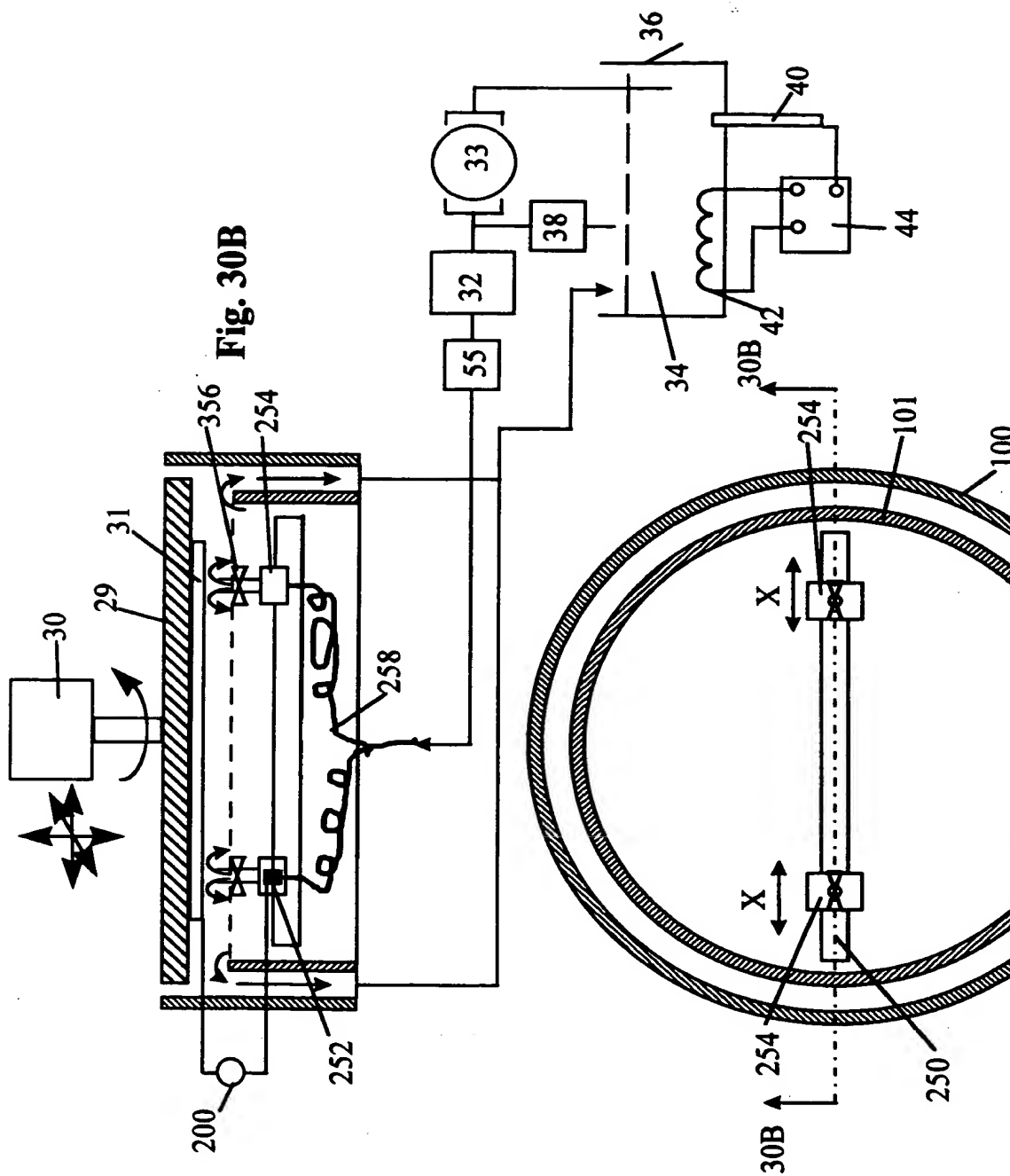
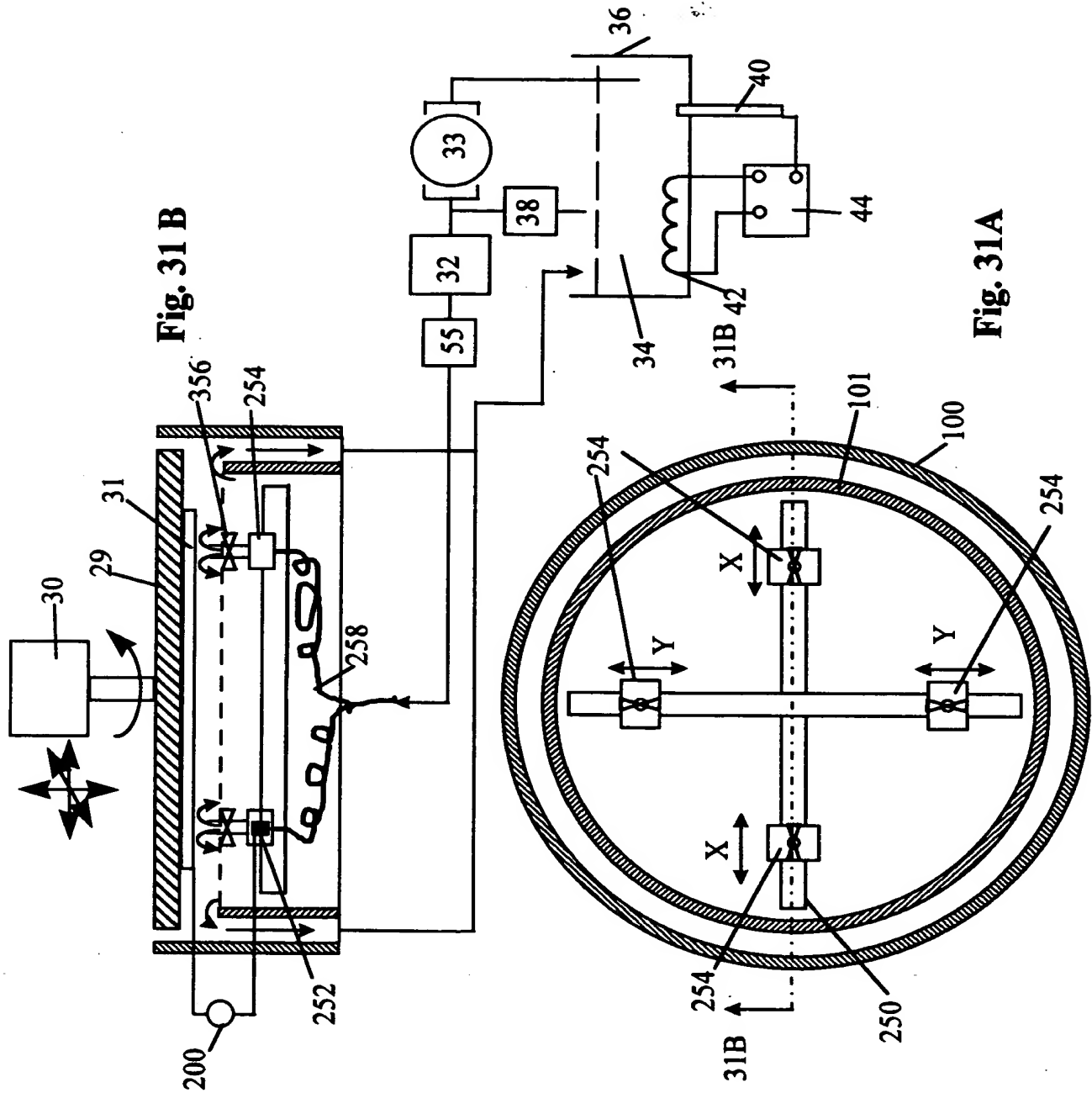


Fig. 30B

Fig. 30A



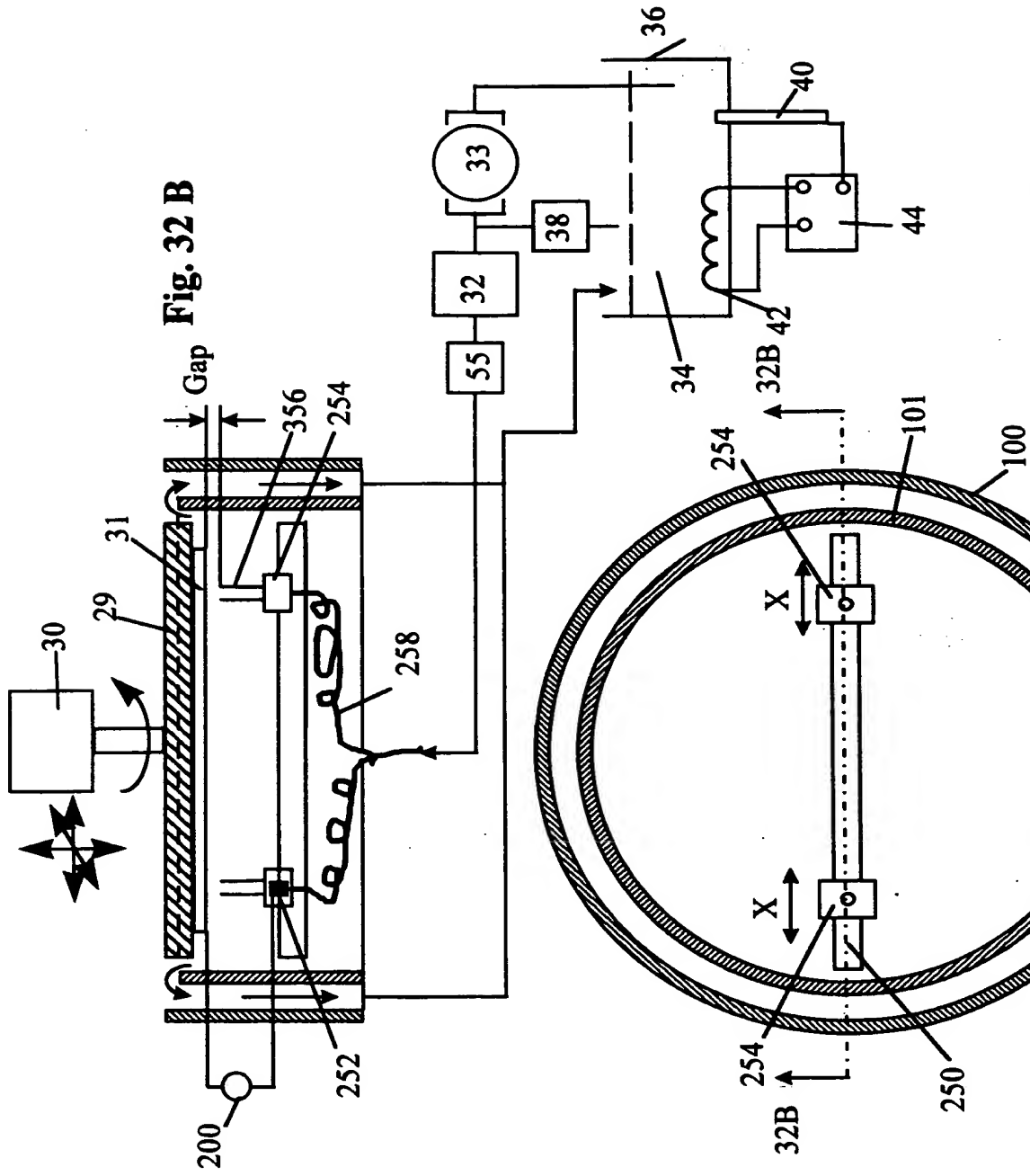


Fig. 32A

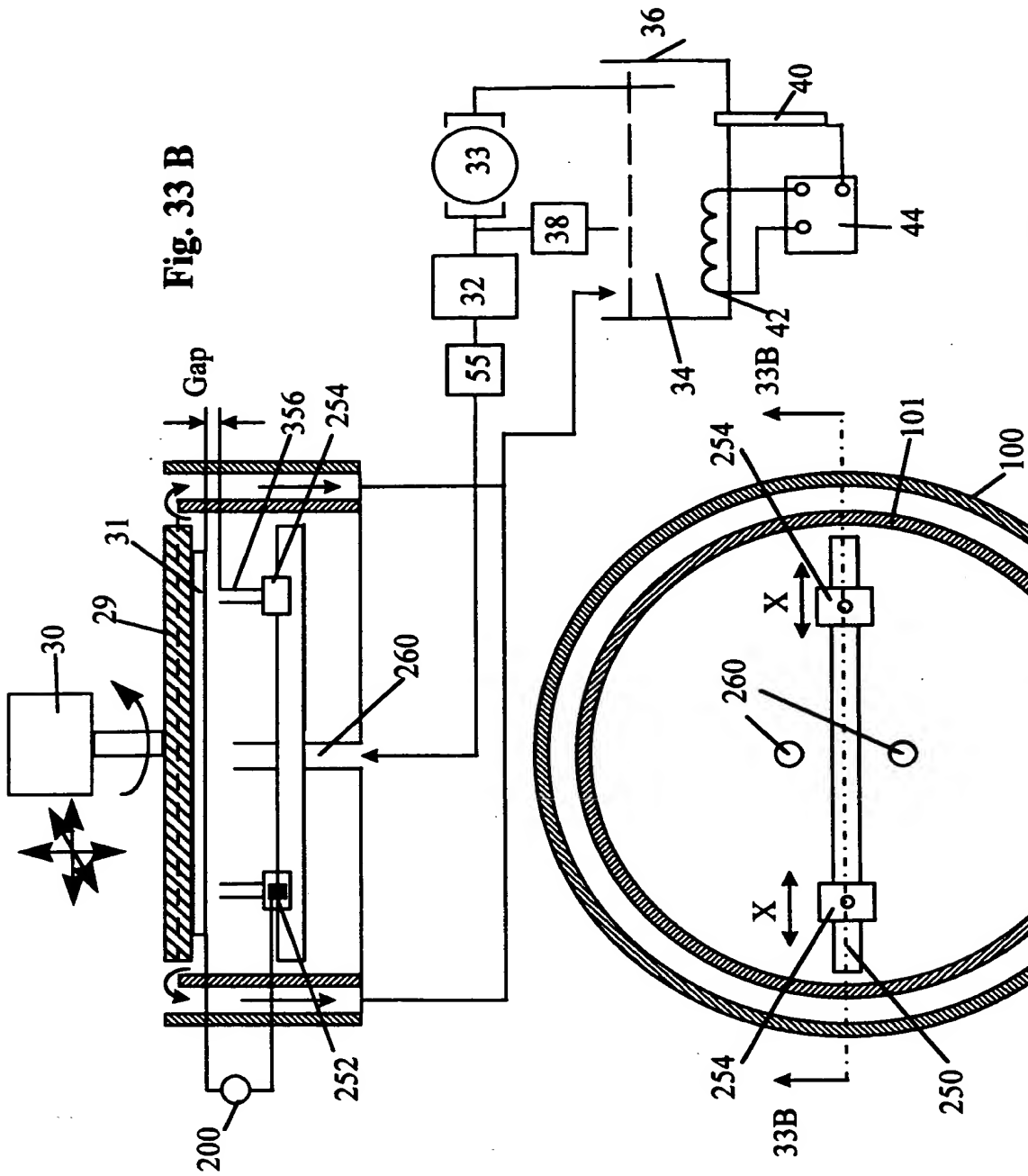


Fig. 33A

Fig. 33 B

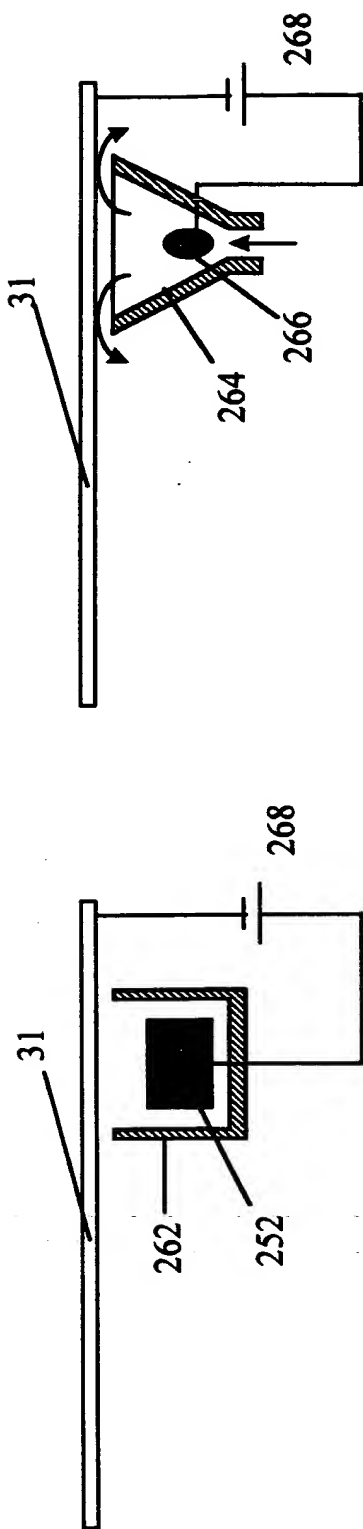


Fig. 34 A

Fig. 34 B

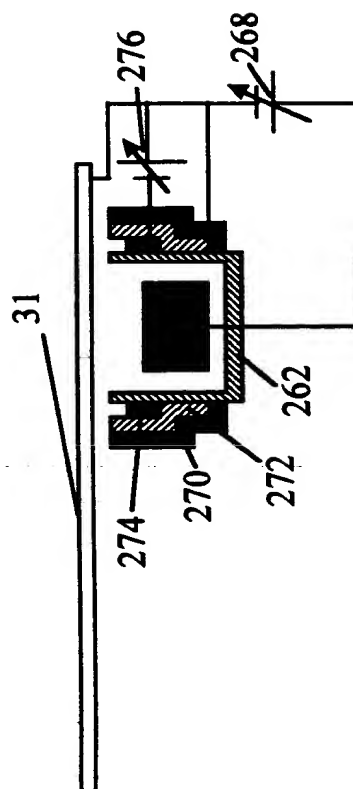


Fig. 34 C

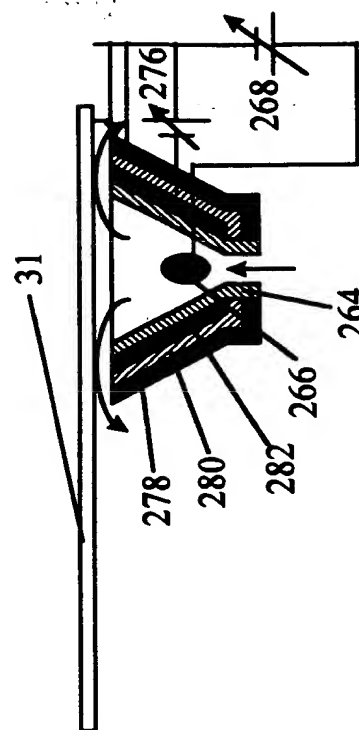


Fig. 34 D

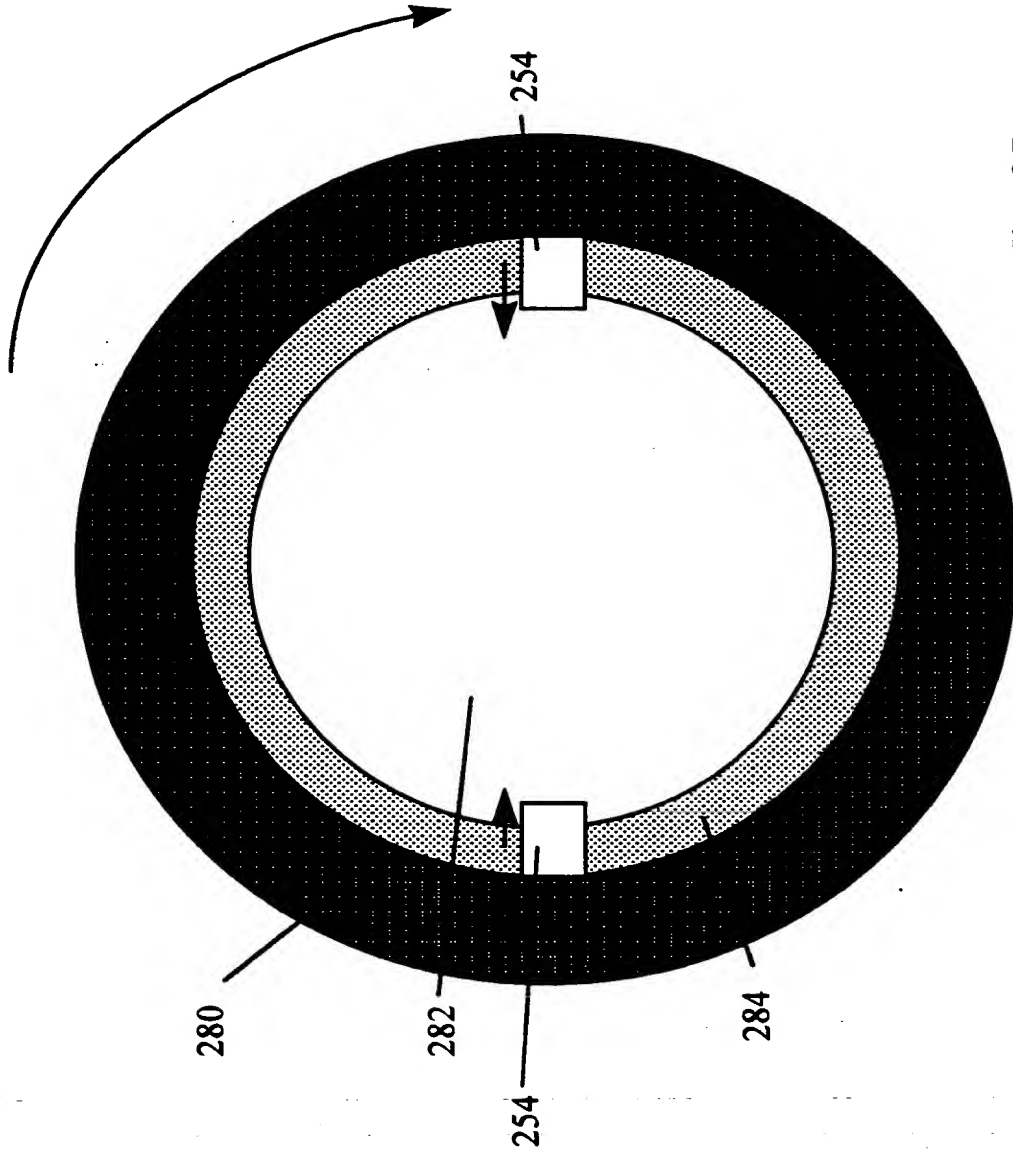


Fig. 35

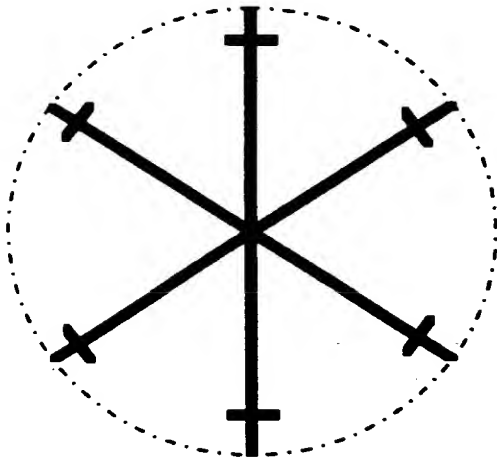


Fig. 36 A

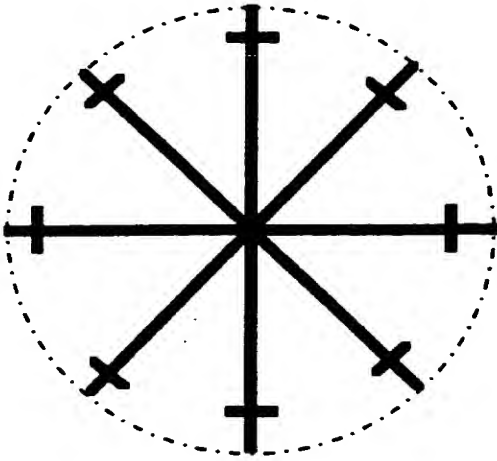


Fig. 36 B

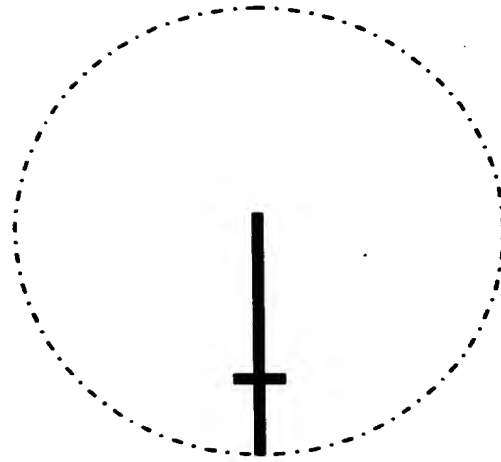


Fig. 36 C



Fig. 36 D

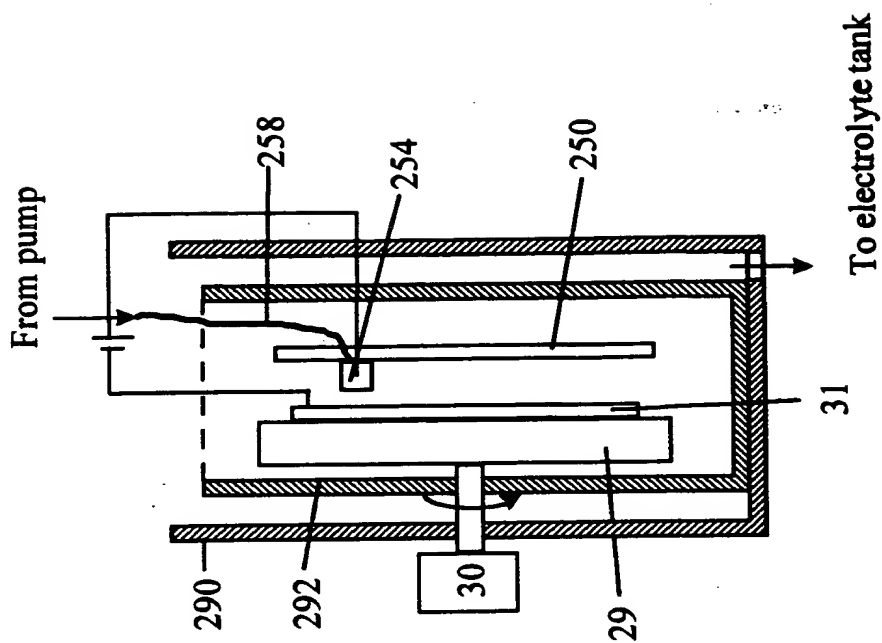


Fig. 37 B

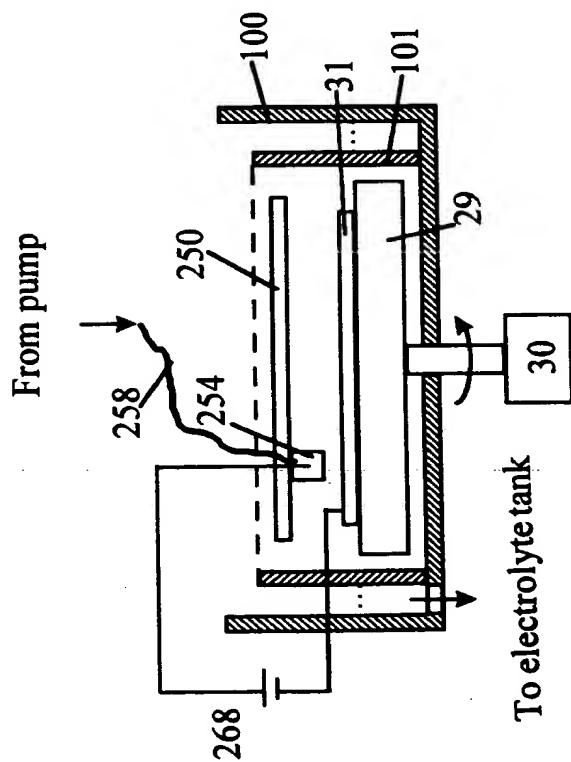


Fig. 37 A

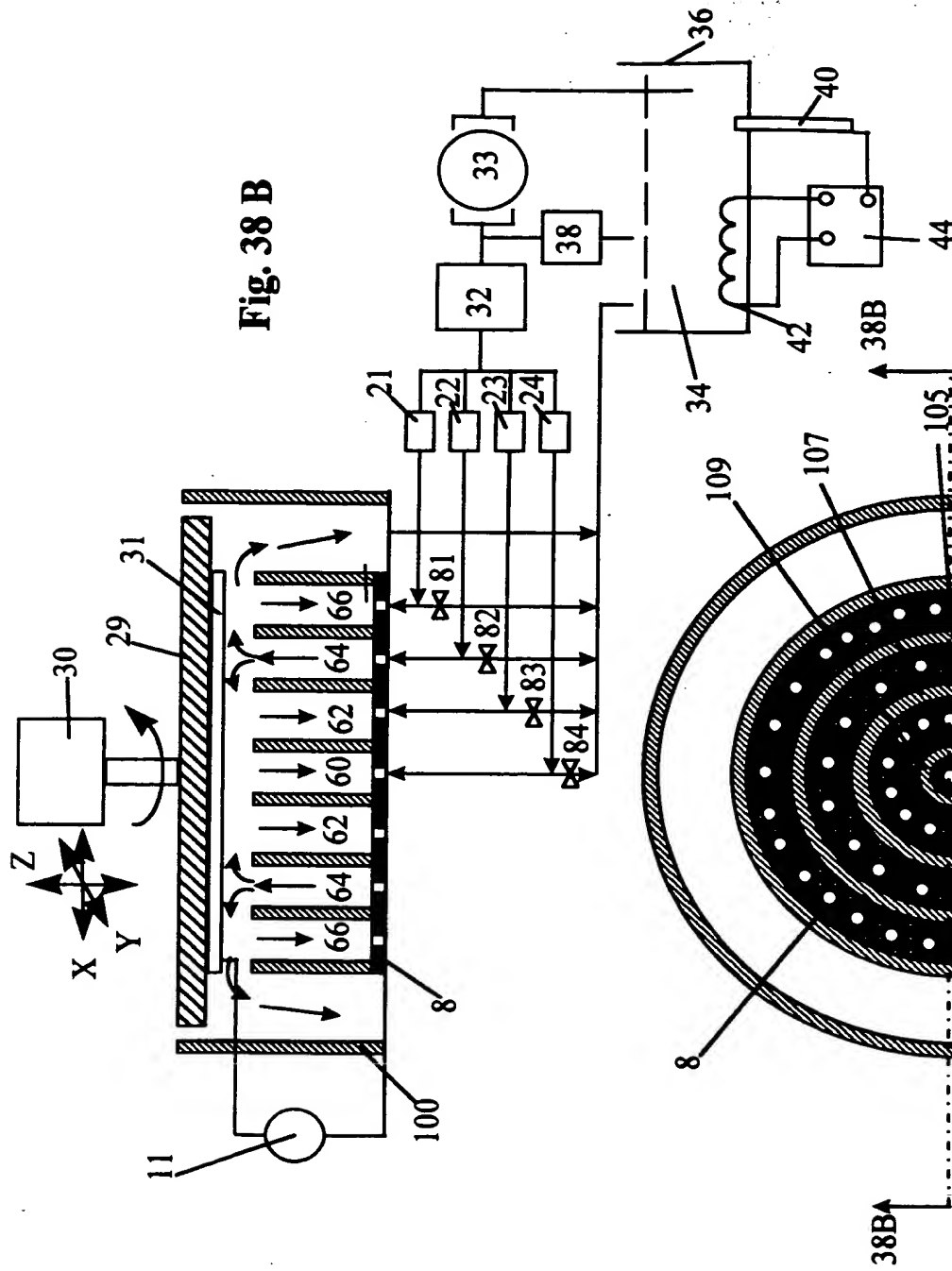


Fig. 38 B

Fig. 38 A

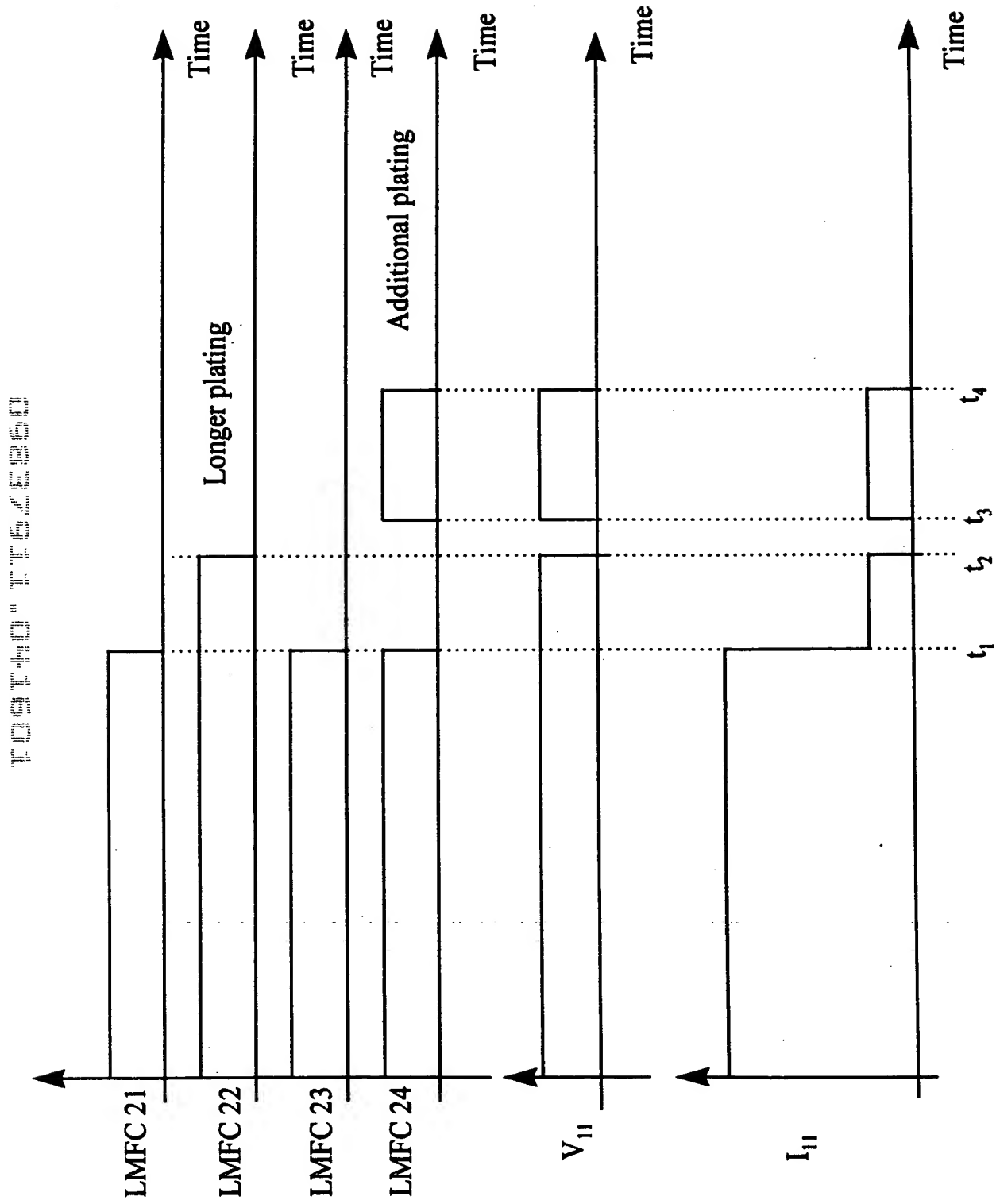


Fig. 39

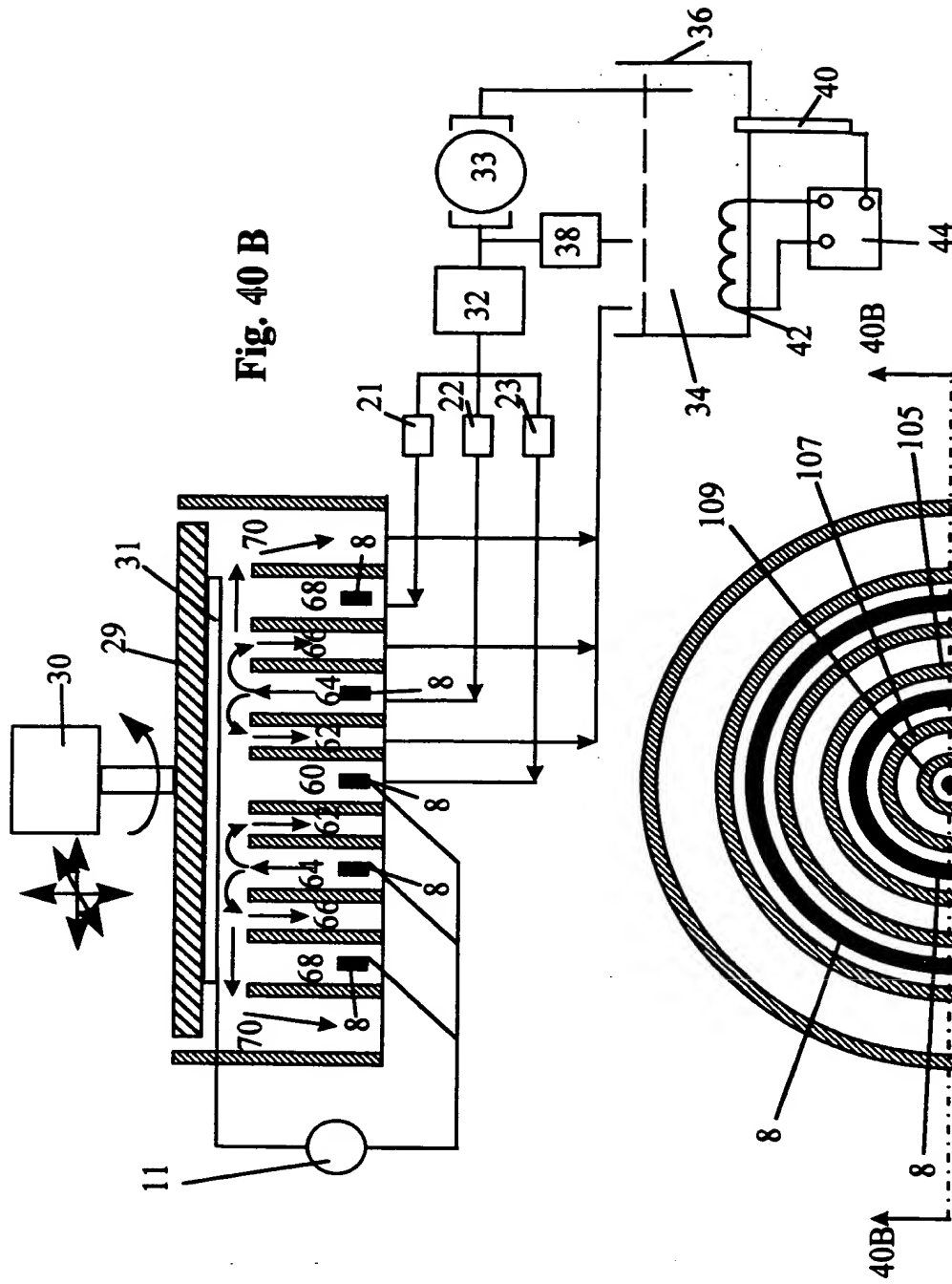


Fig. 40 B

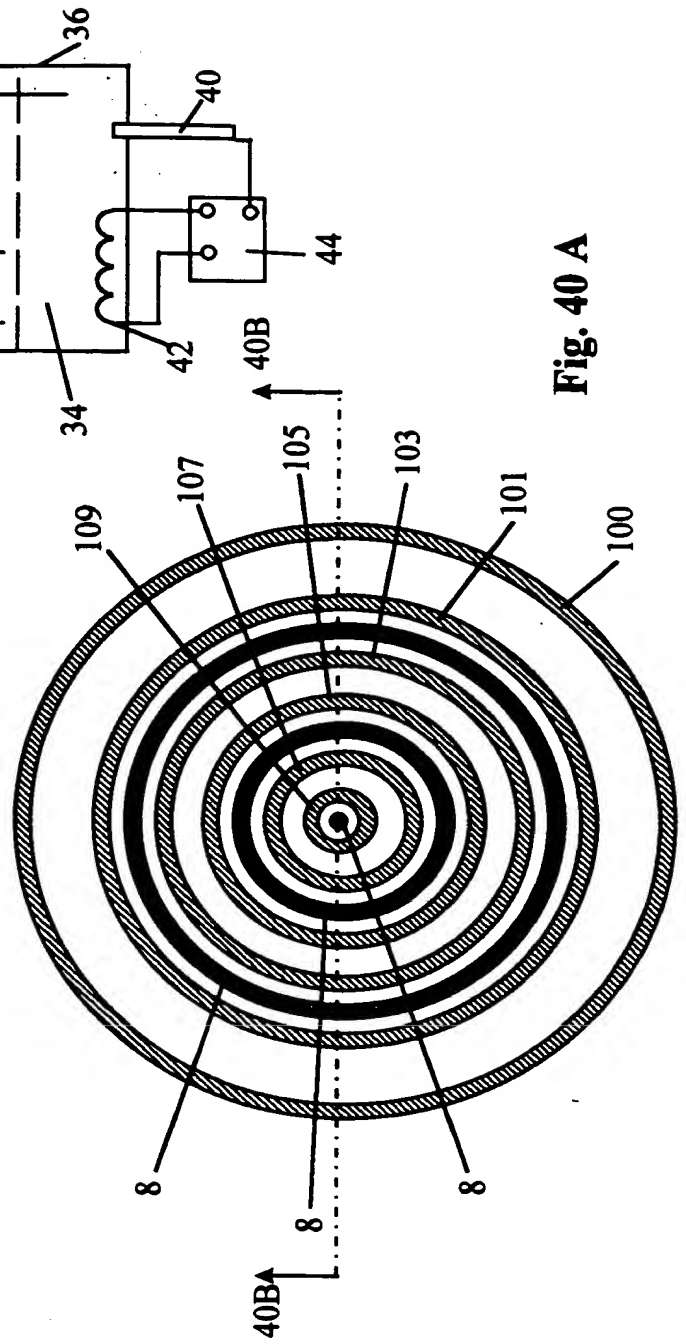


Fig. 40 A

FIG. 41A

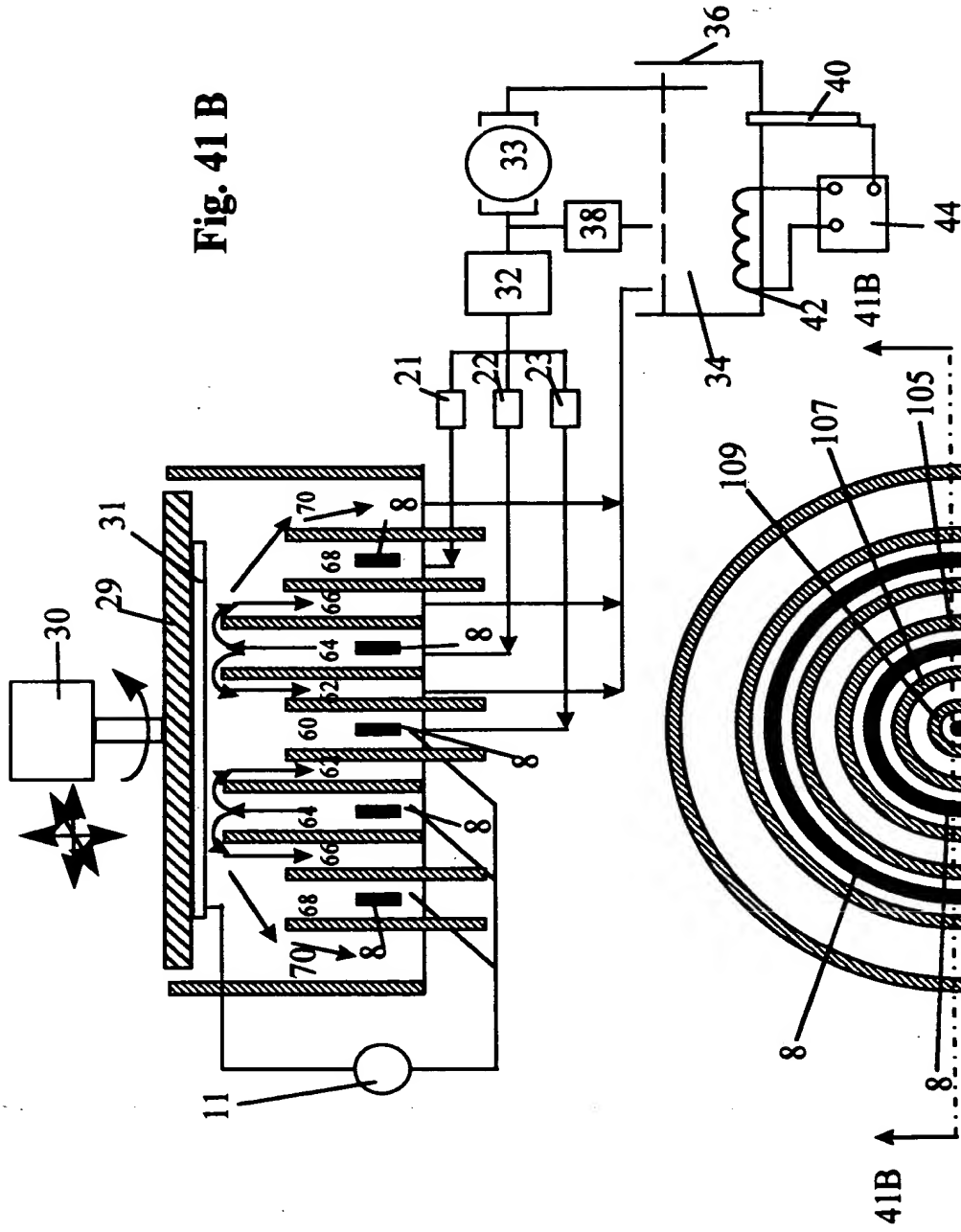


Fig. 41 B

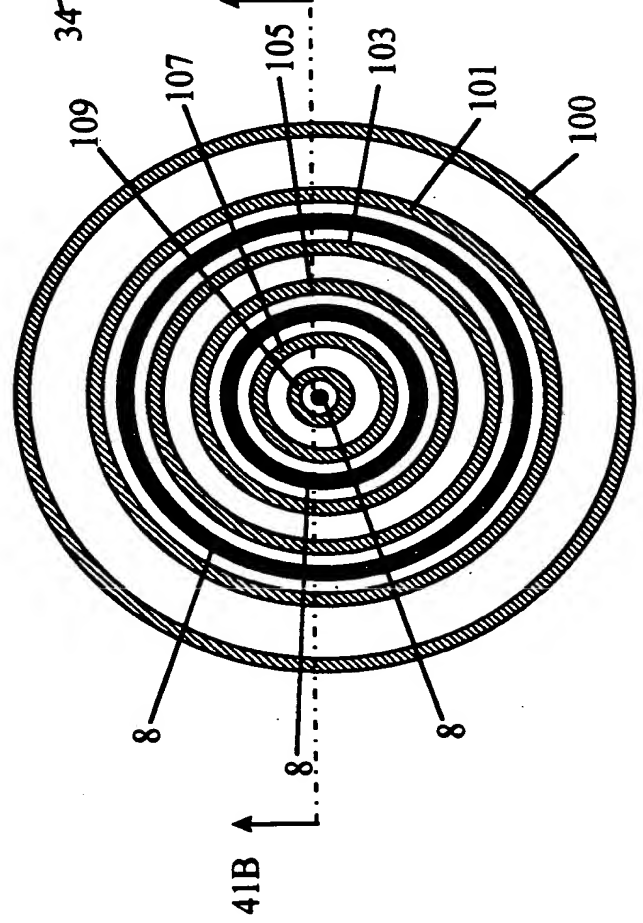


Fig. 41 A

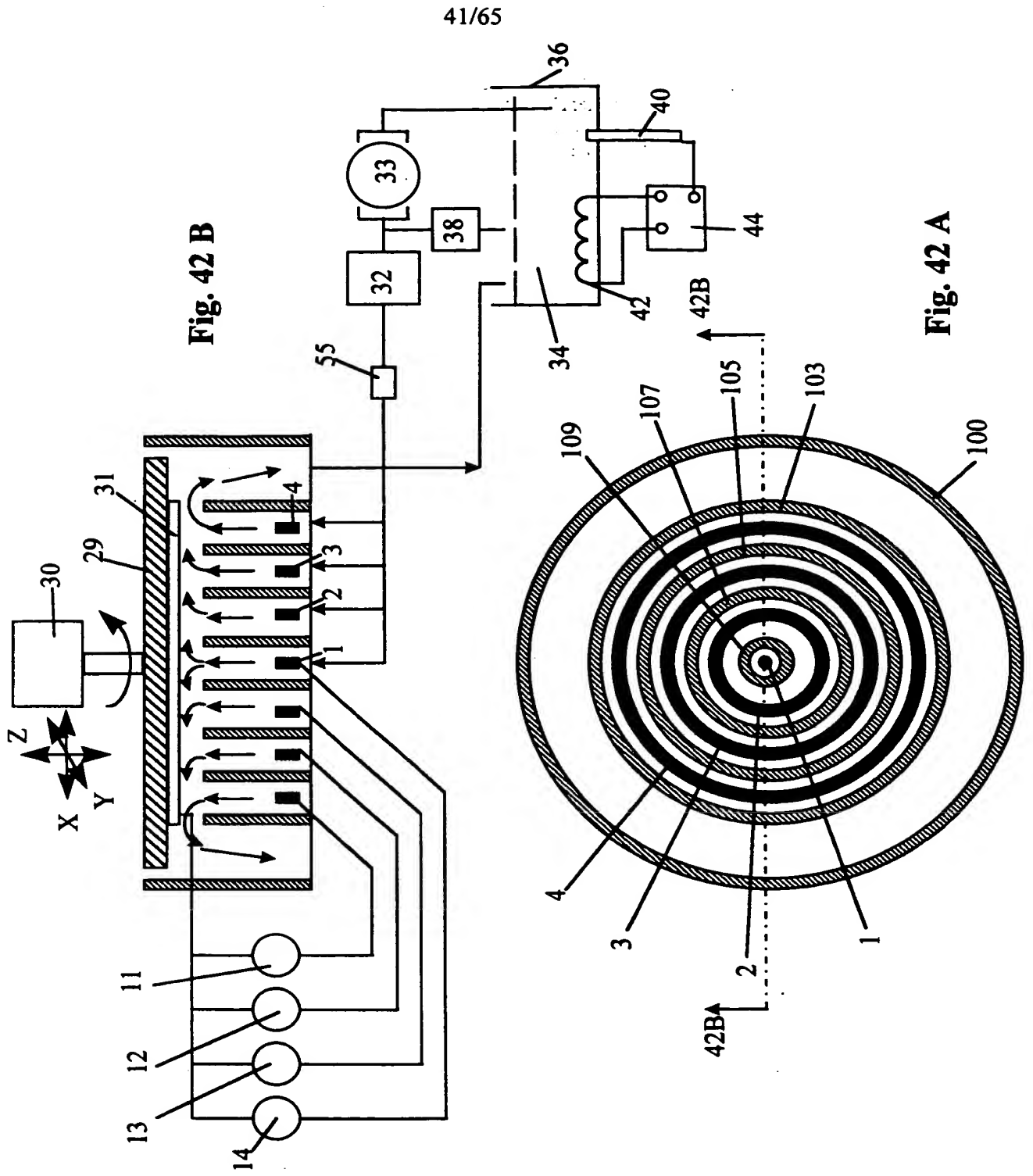


Fig. 42 B

Fig. 42 A

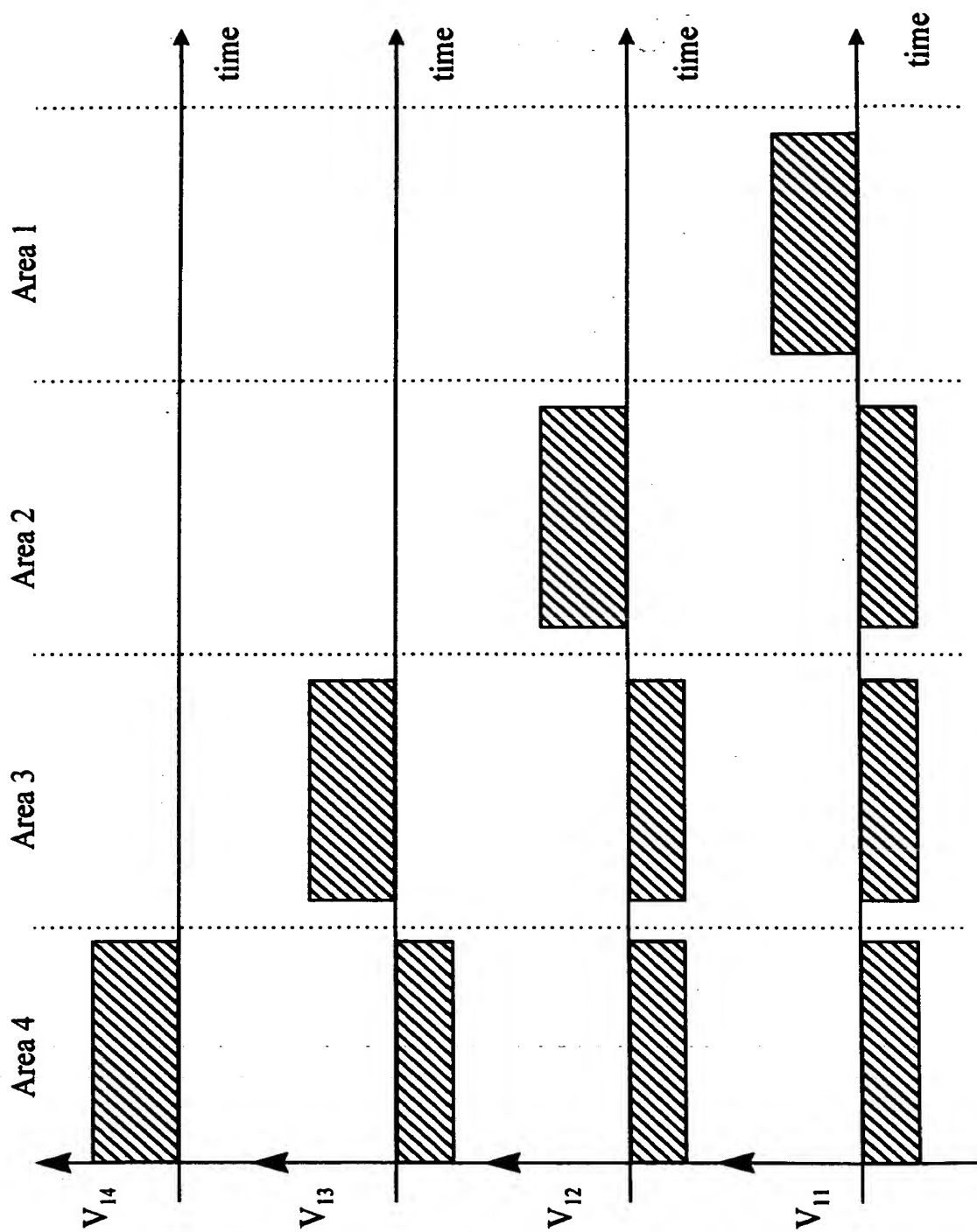


Fig. 43

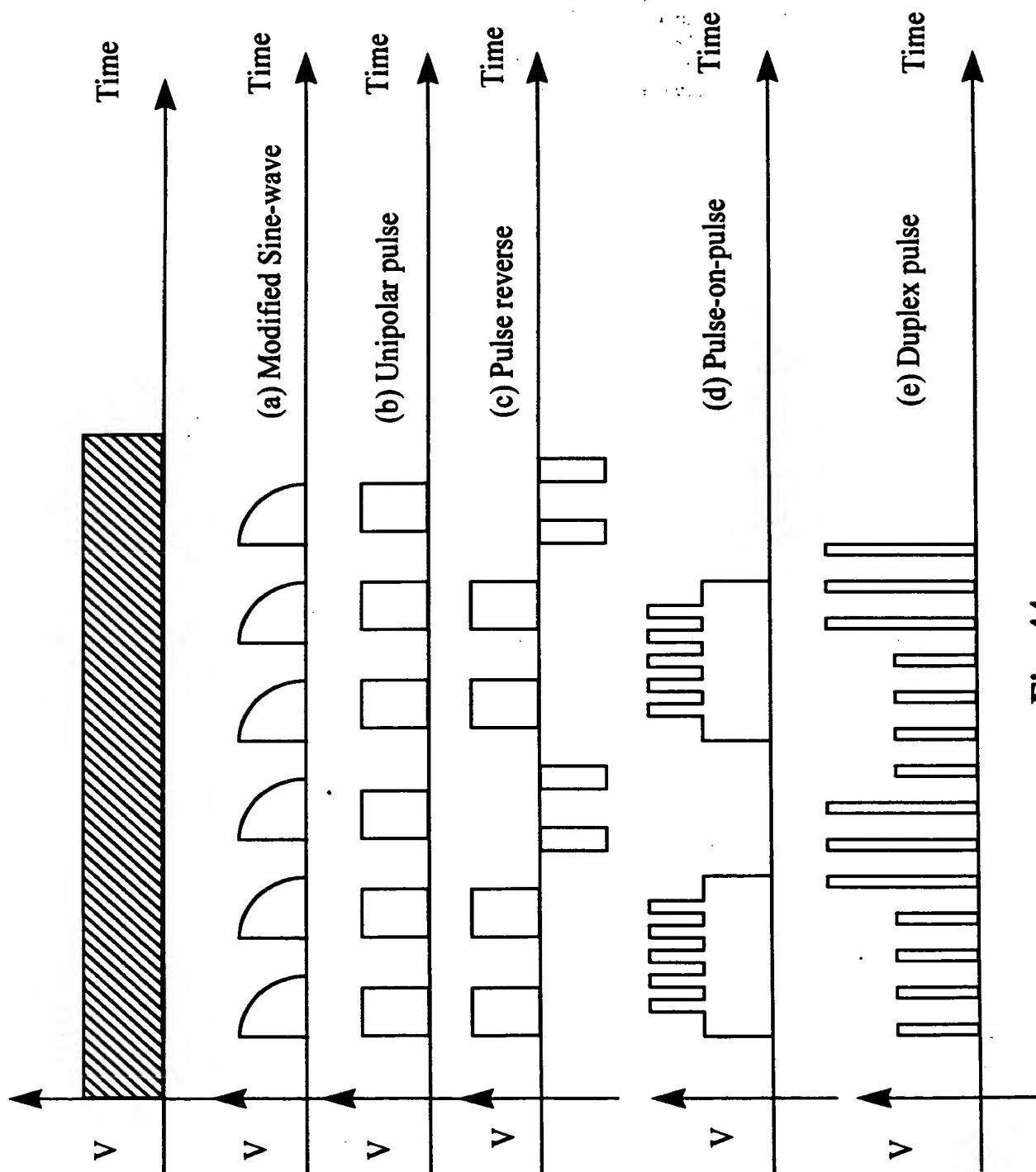


Fig. 44

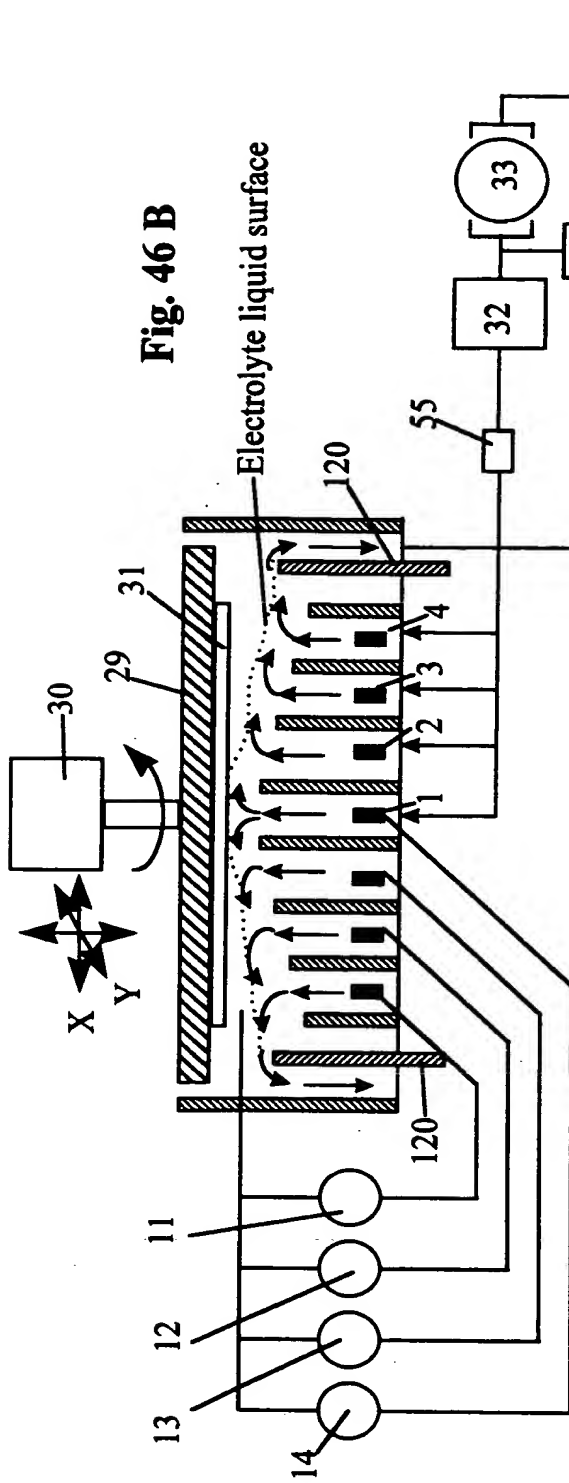


Fig. 46 B

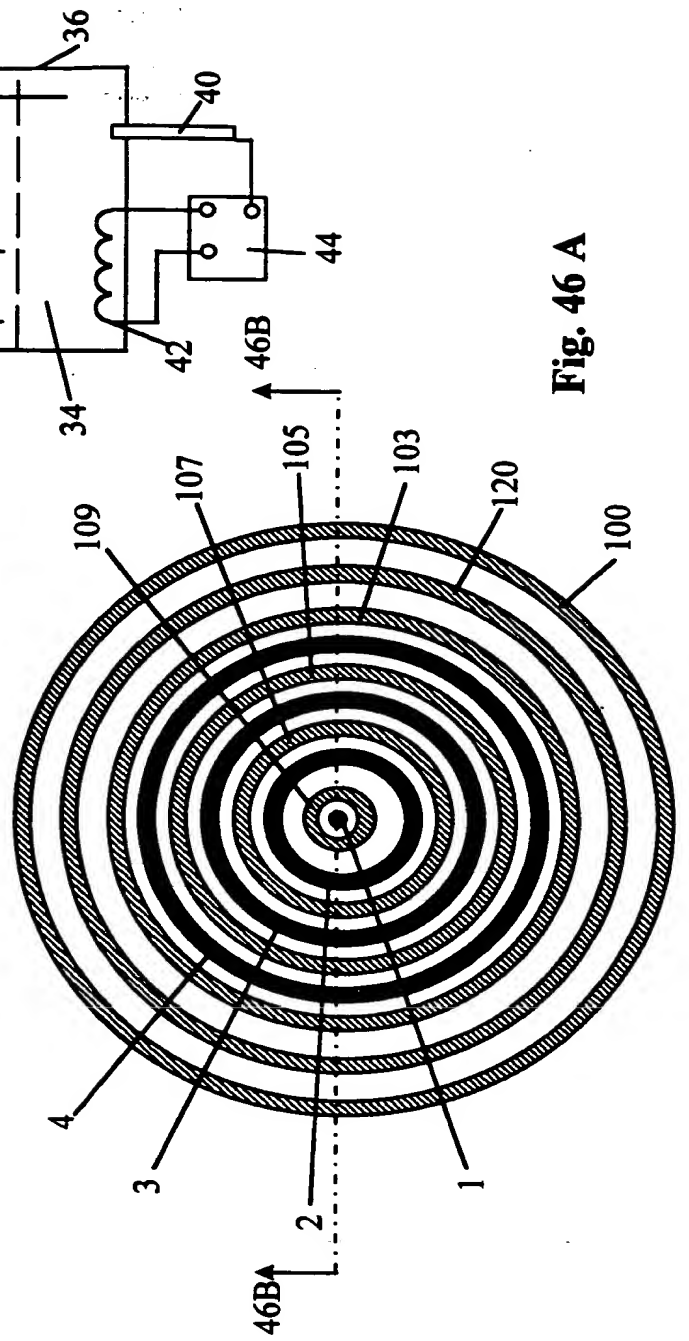


Fig. 46 A

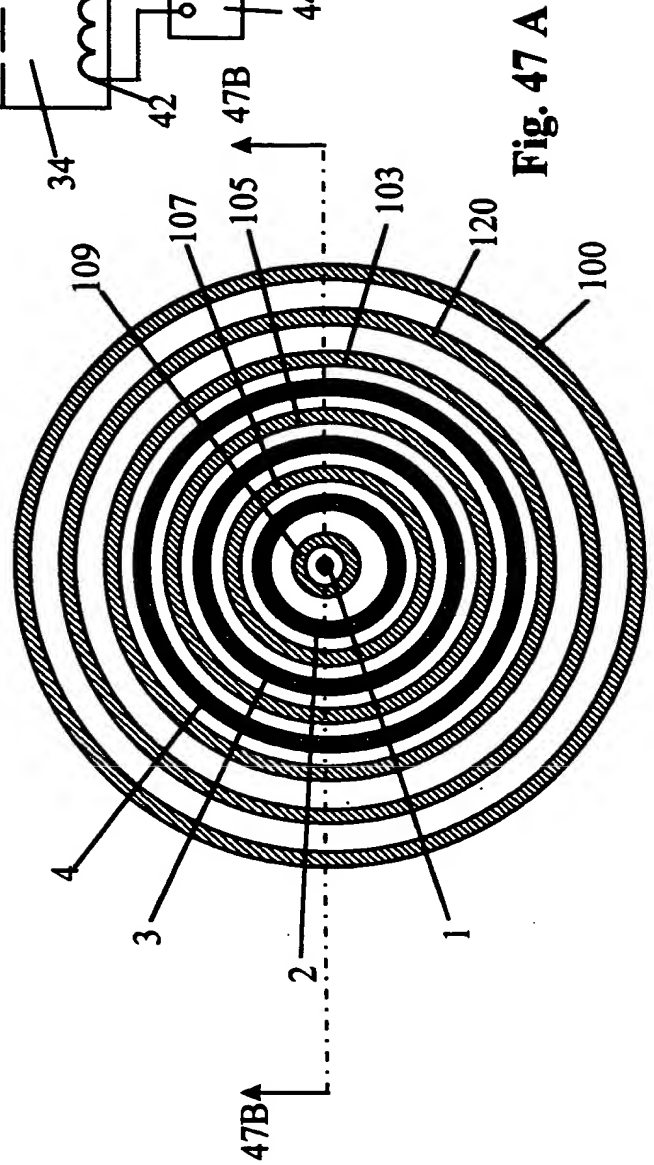
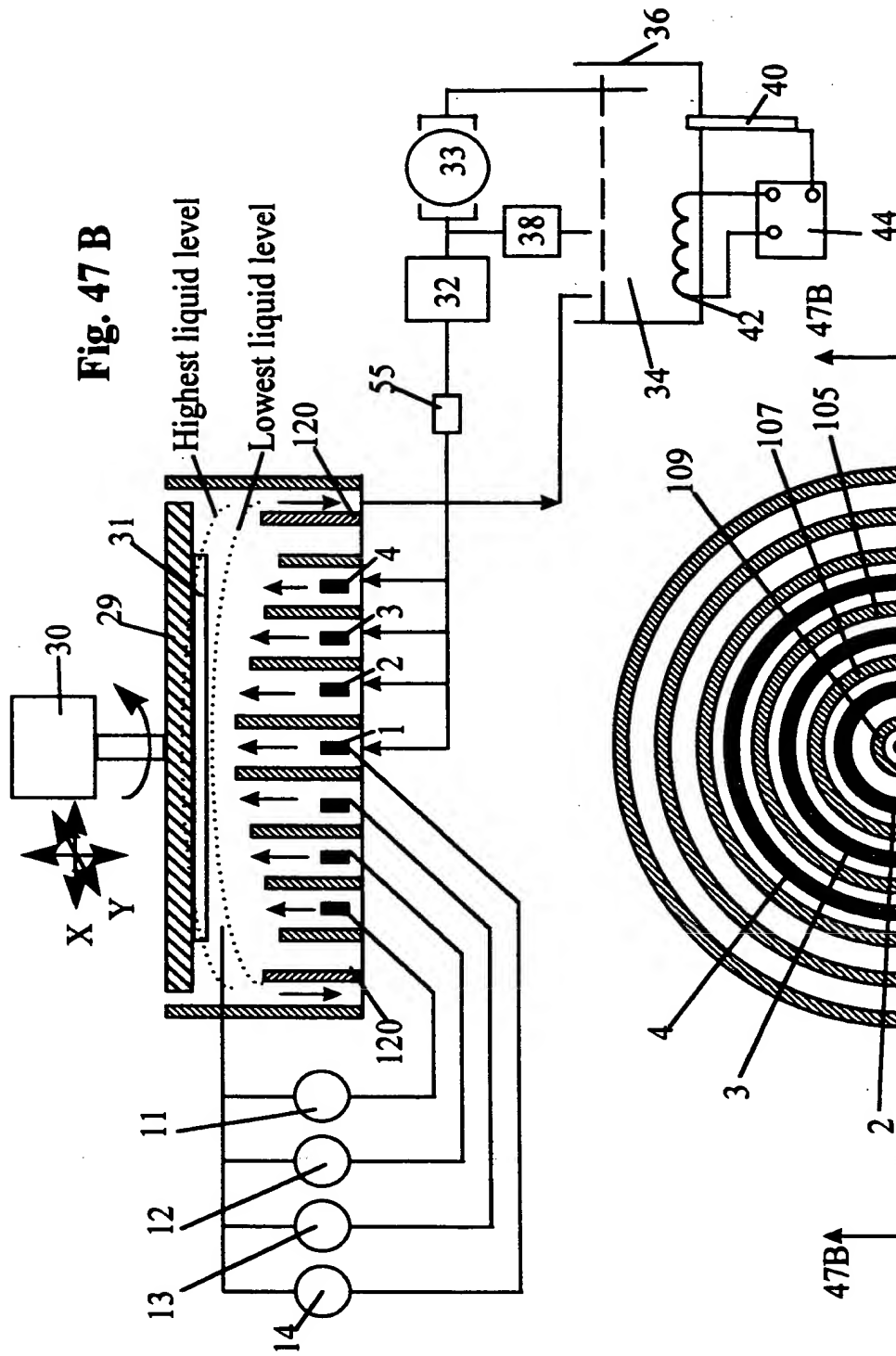


Fig. 48 B

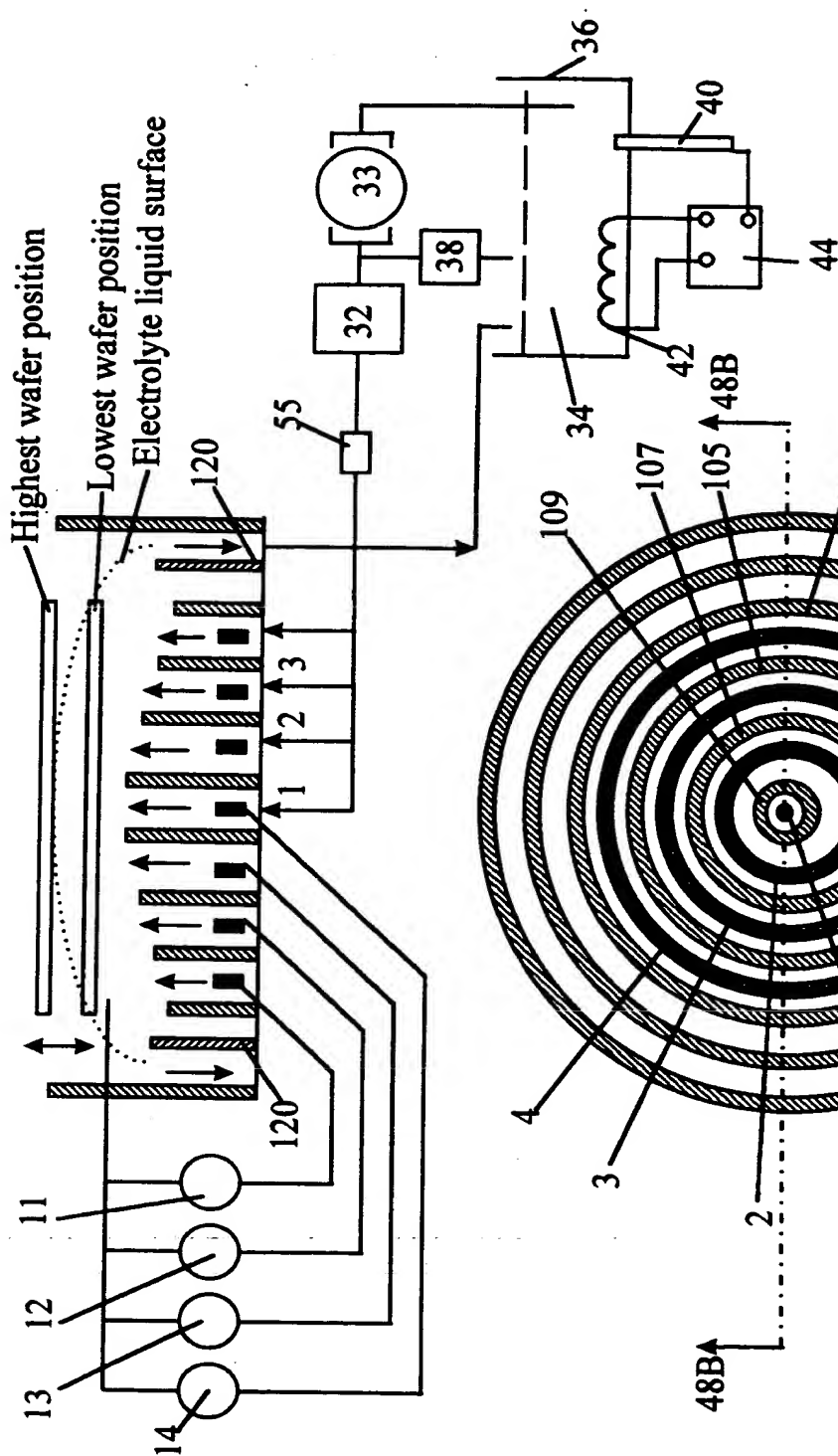
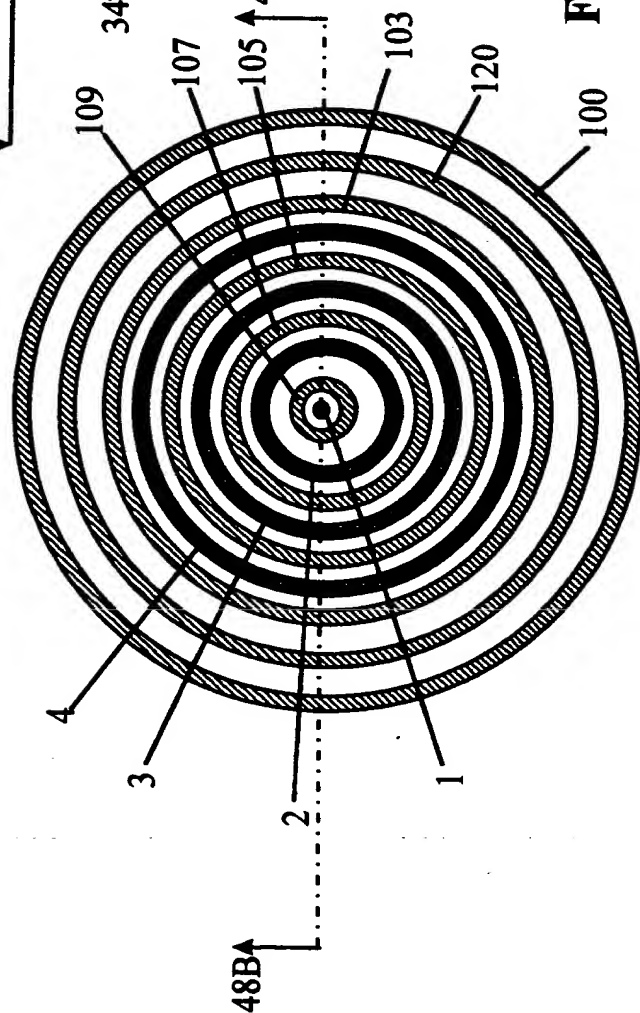


Fig. 48 A



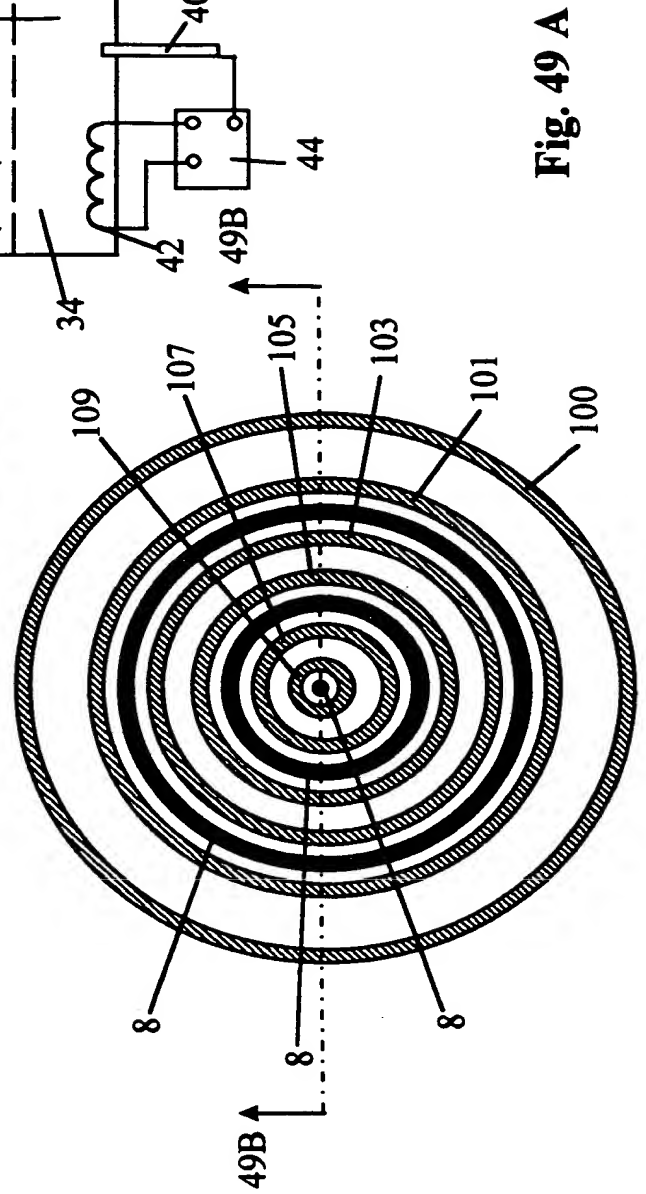
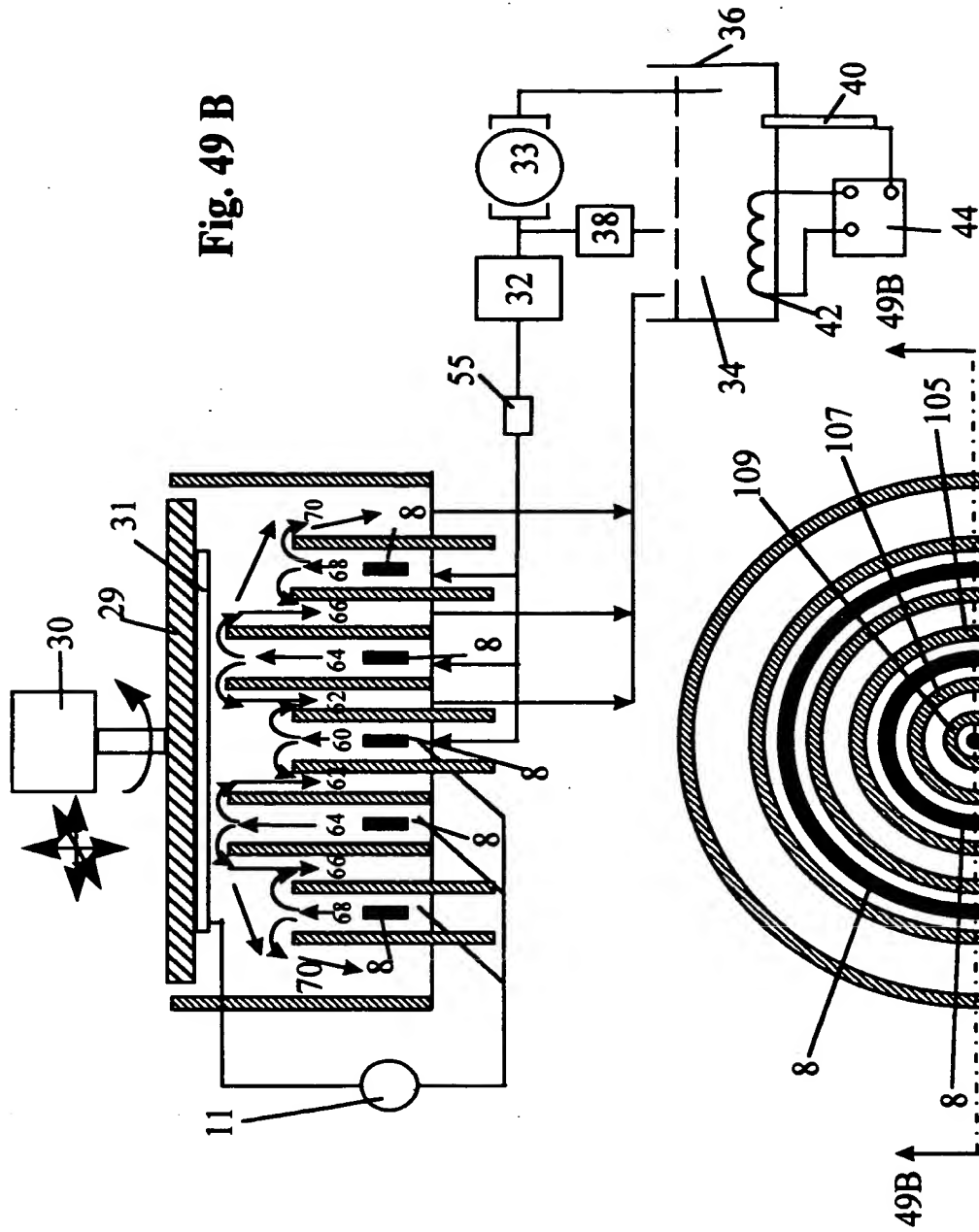


Fig. 49

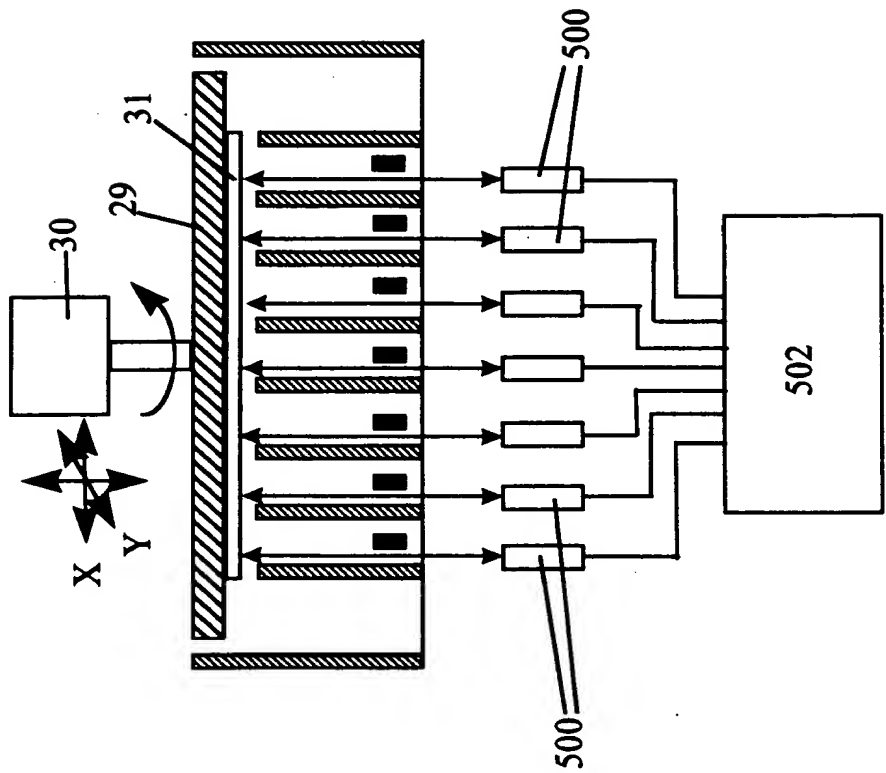


Fig. 50

FIG. 40

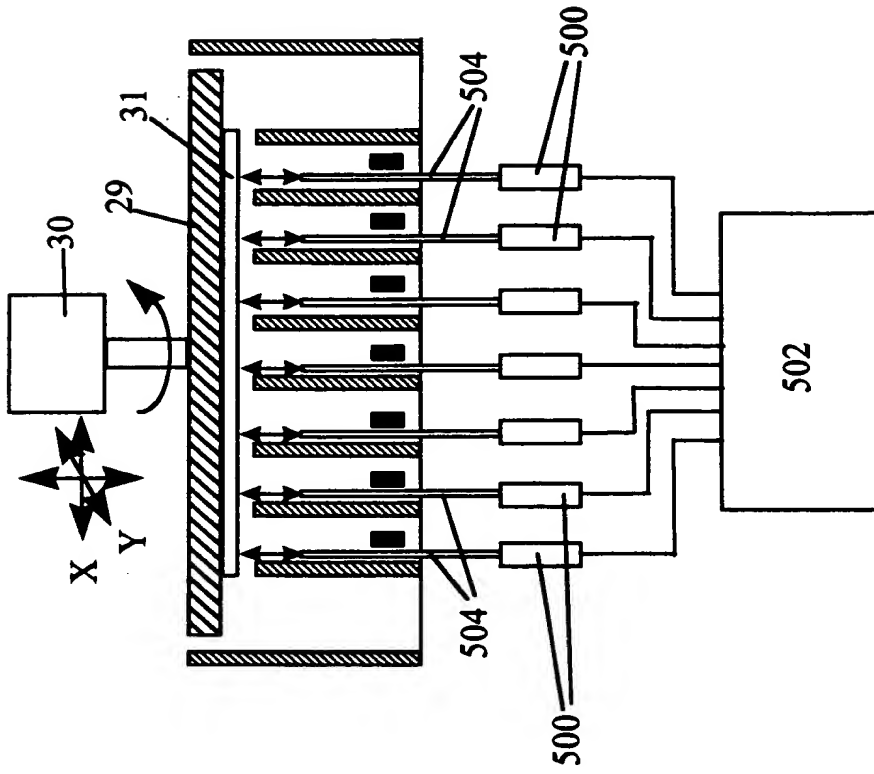
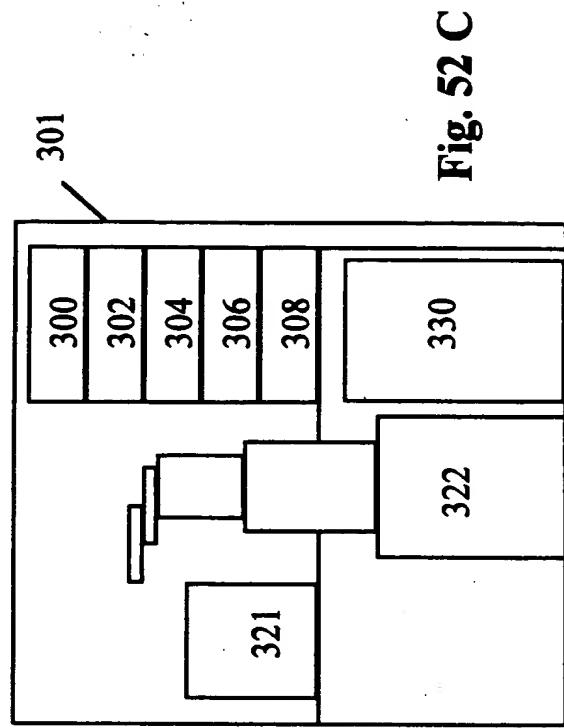
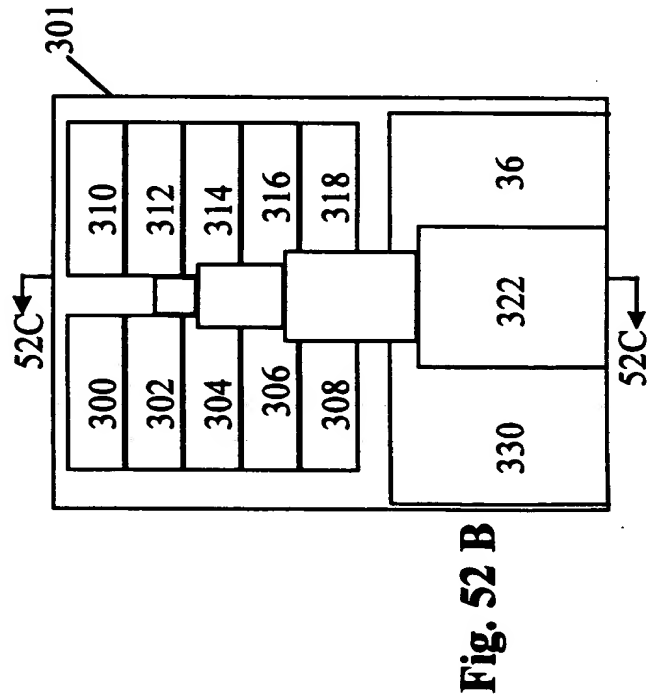
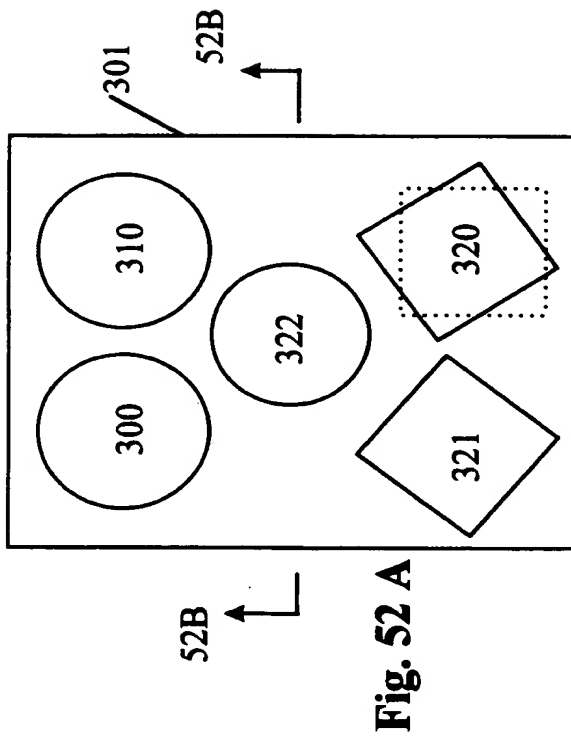
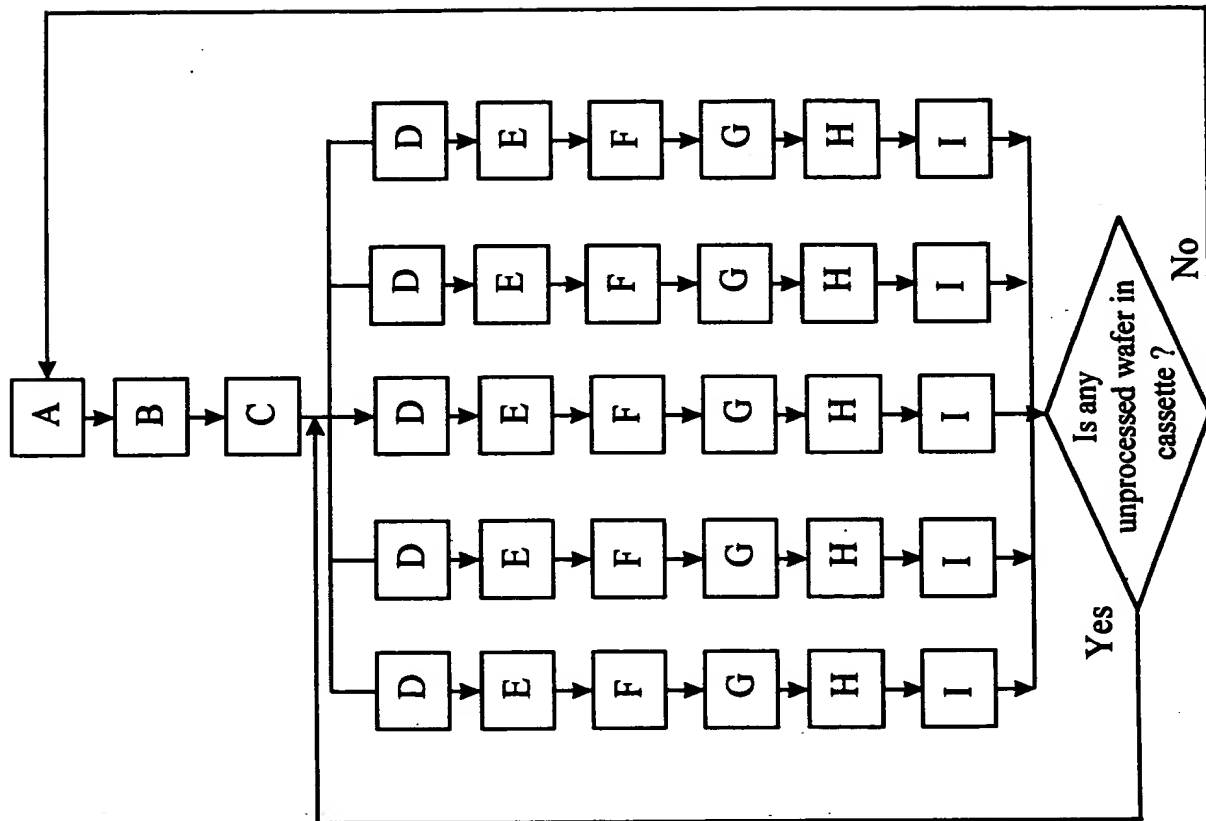
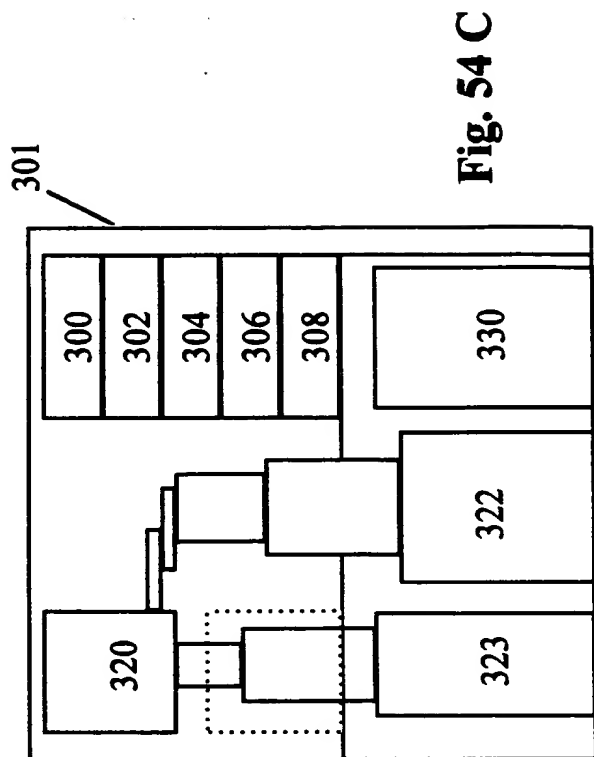
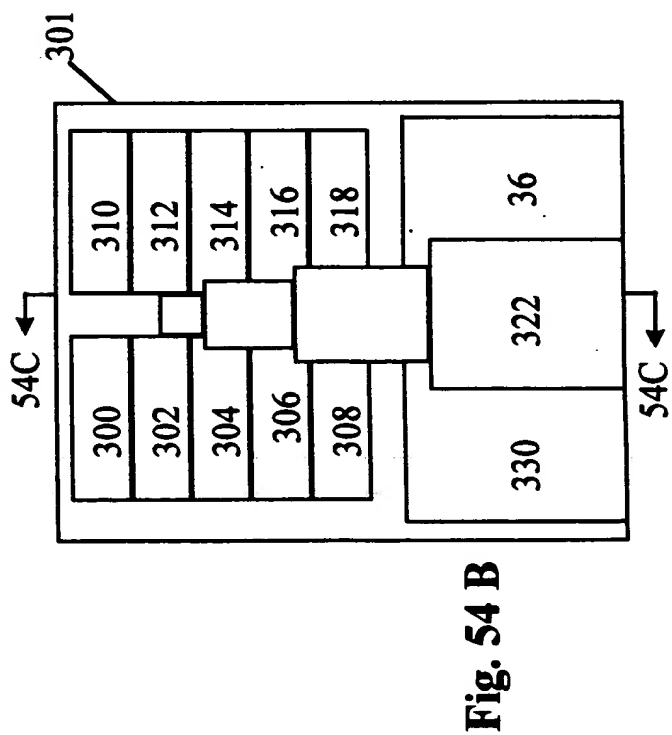
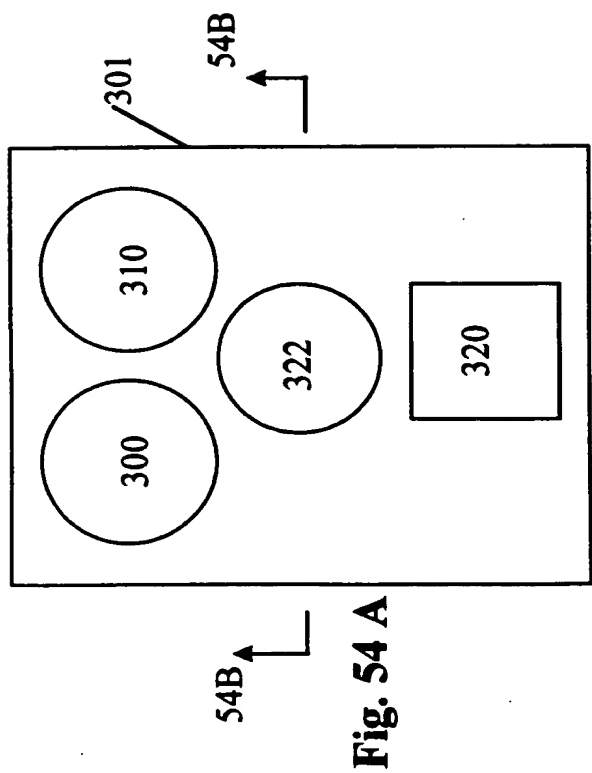


Fig. 51



**Fig. 53**



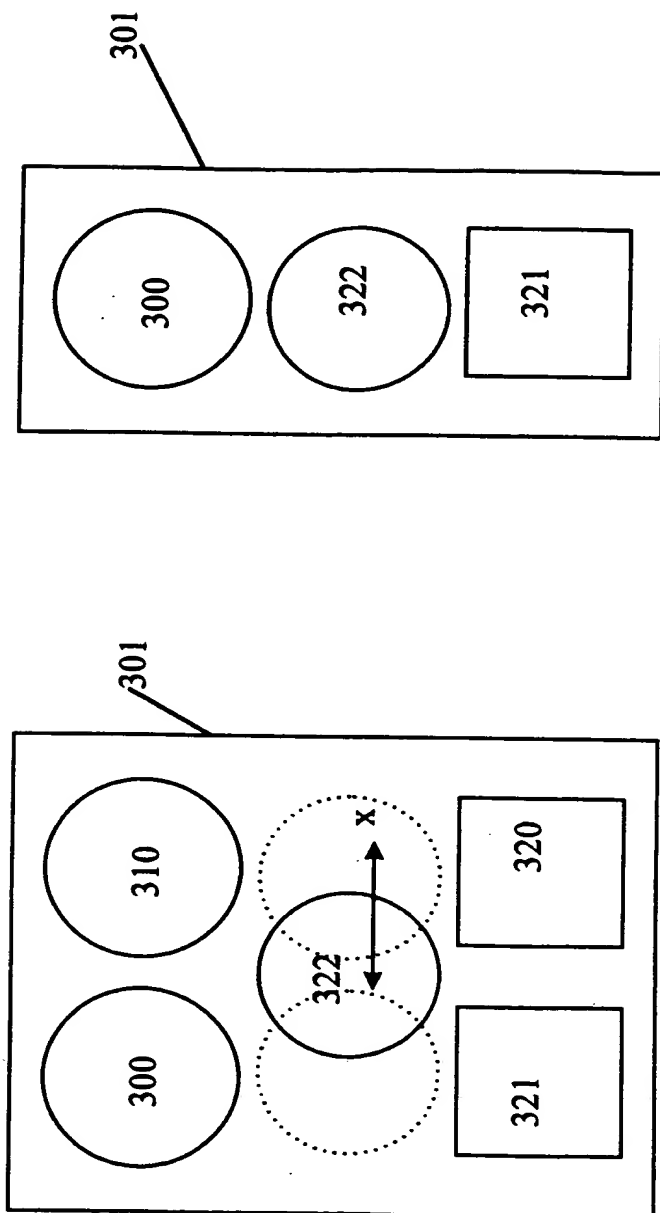
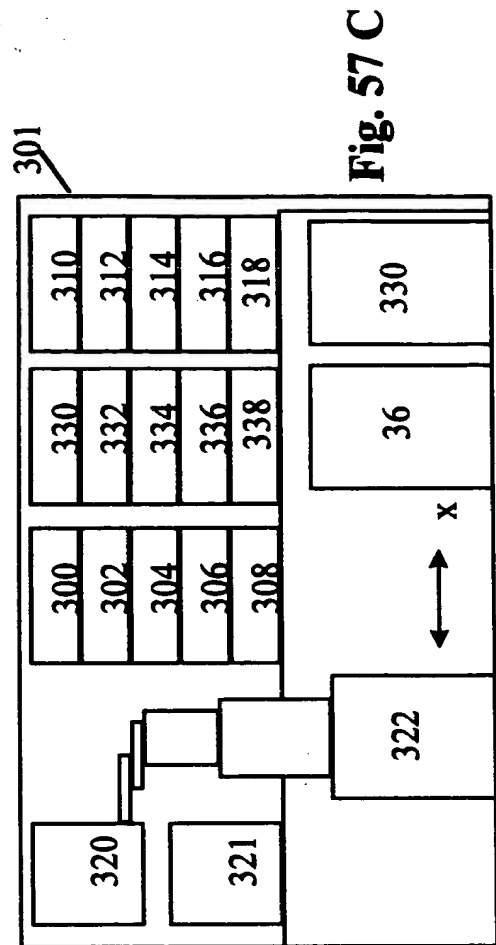
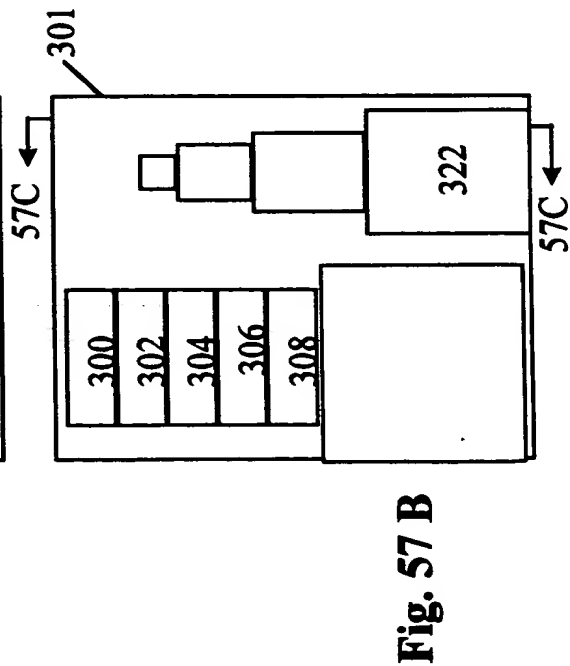
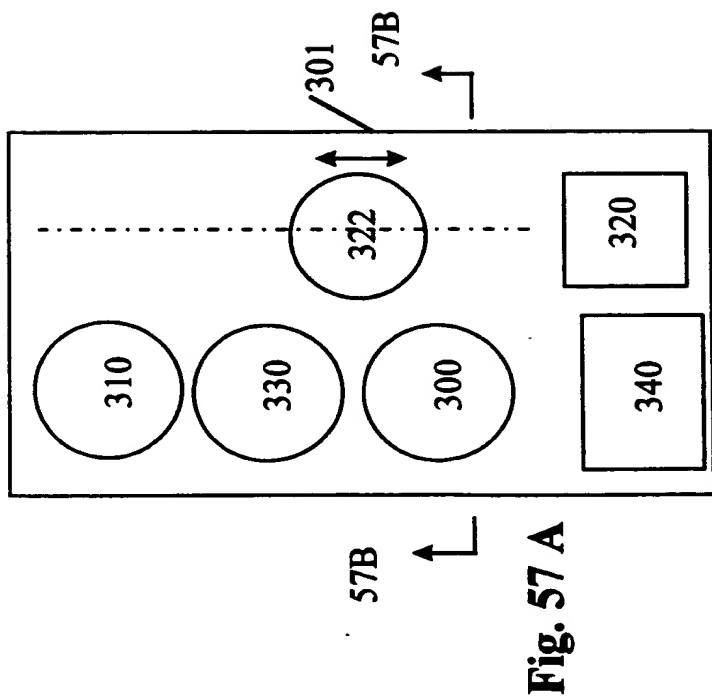


Fig. 55

Fig. 56



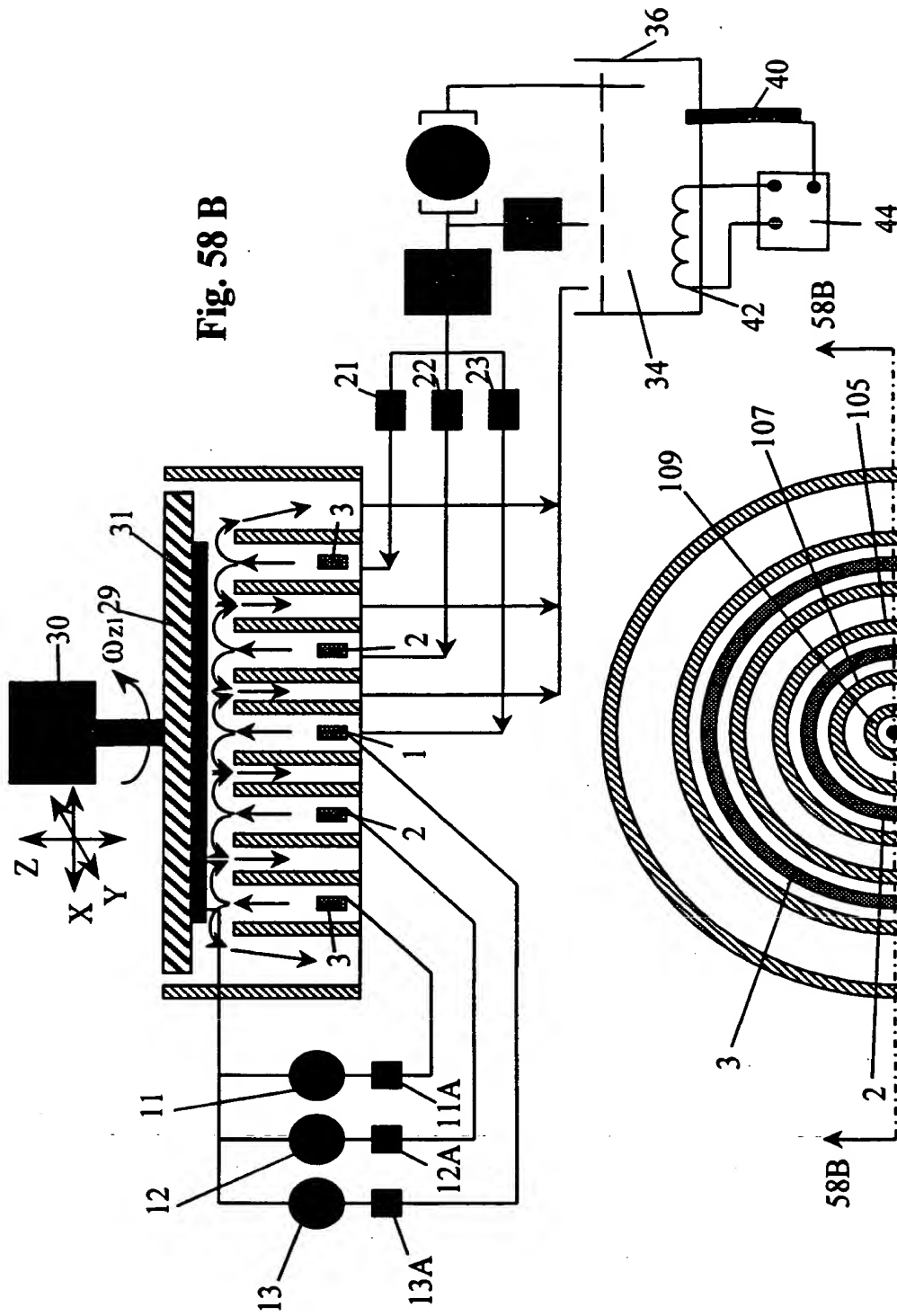


Fig. 58 B

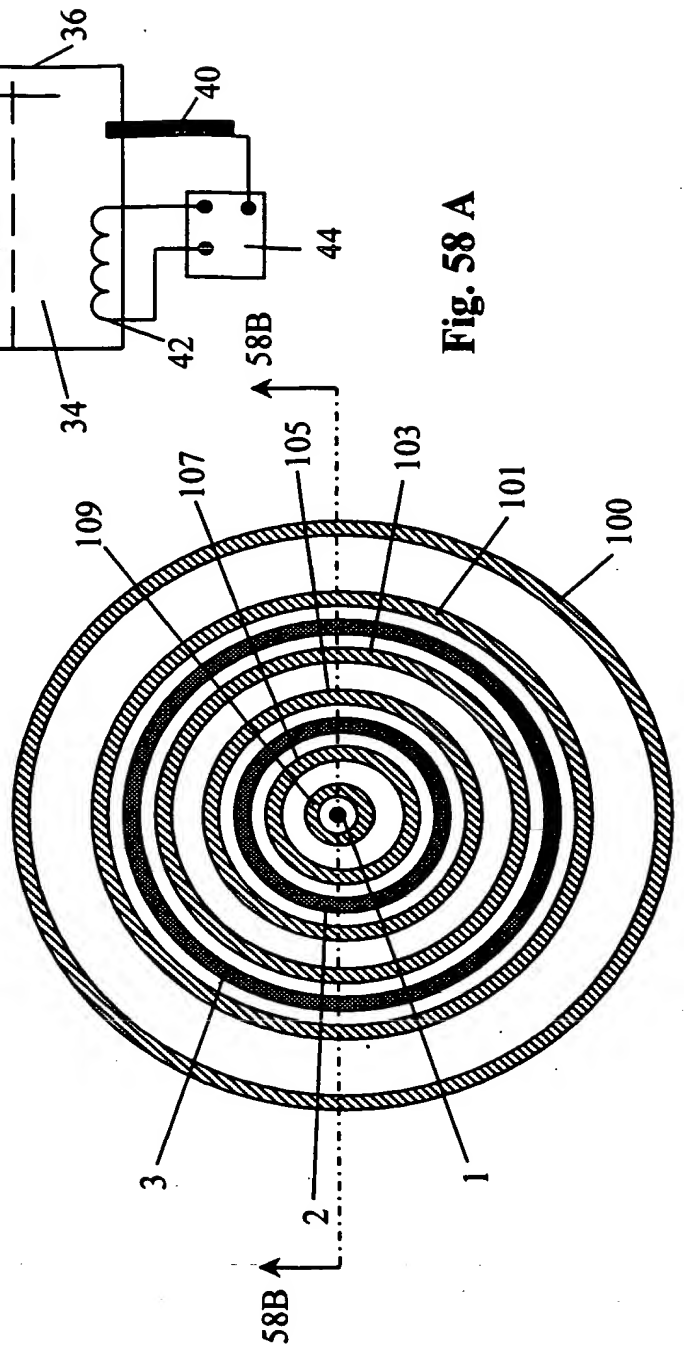


Fig. 58 A

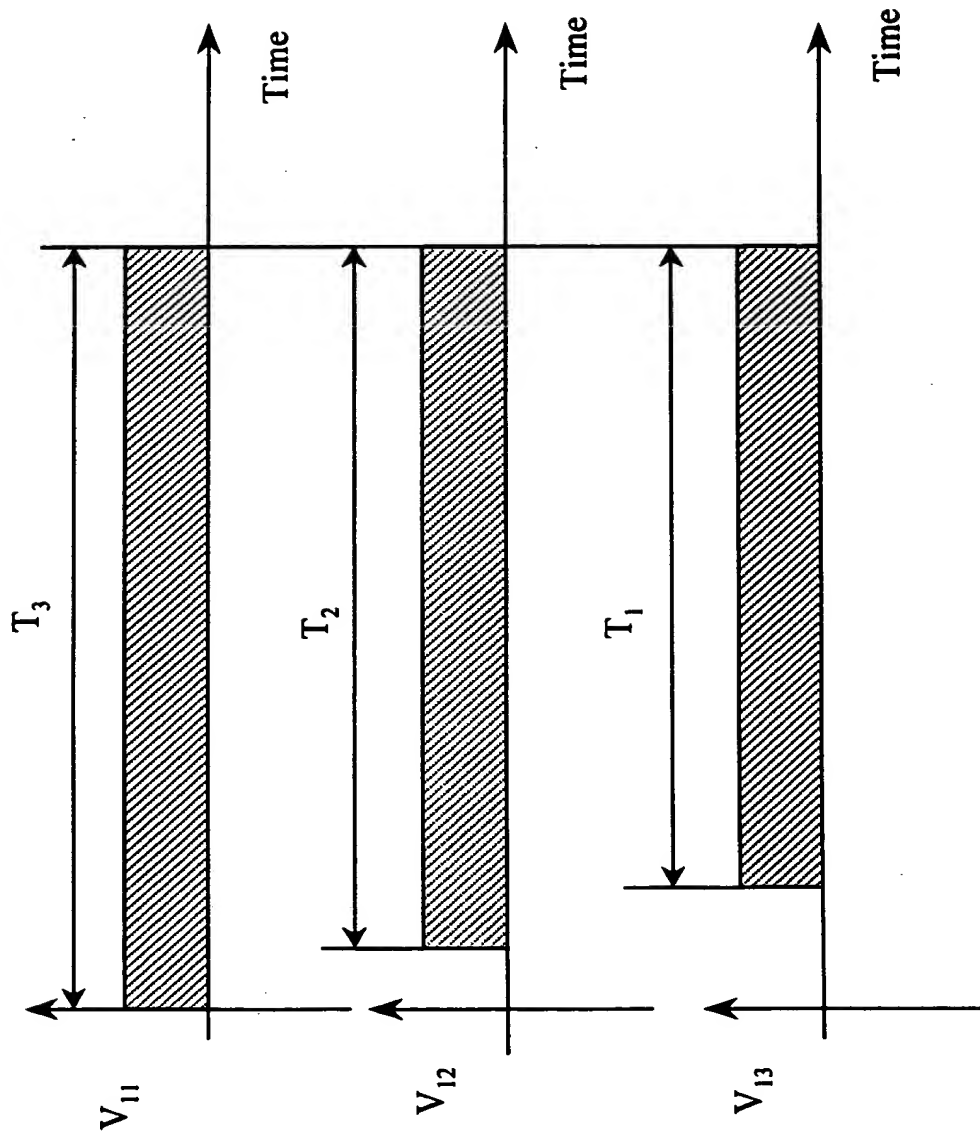


Fig. 59

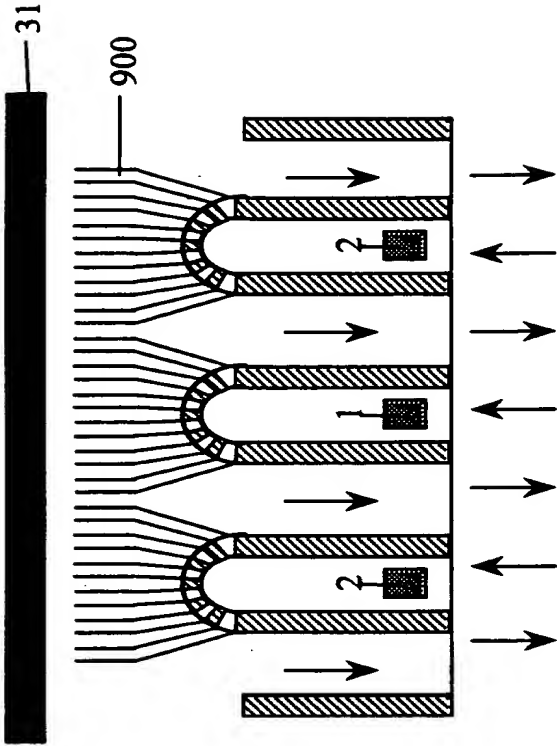


Fig. 60 B

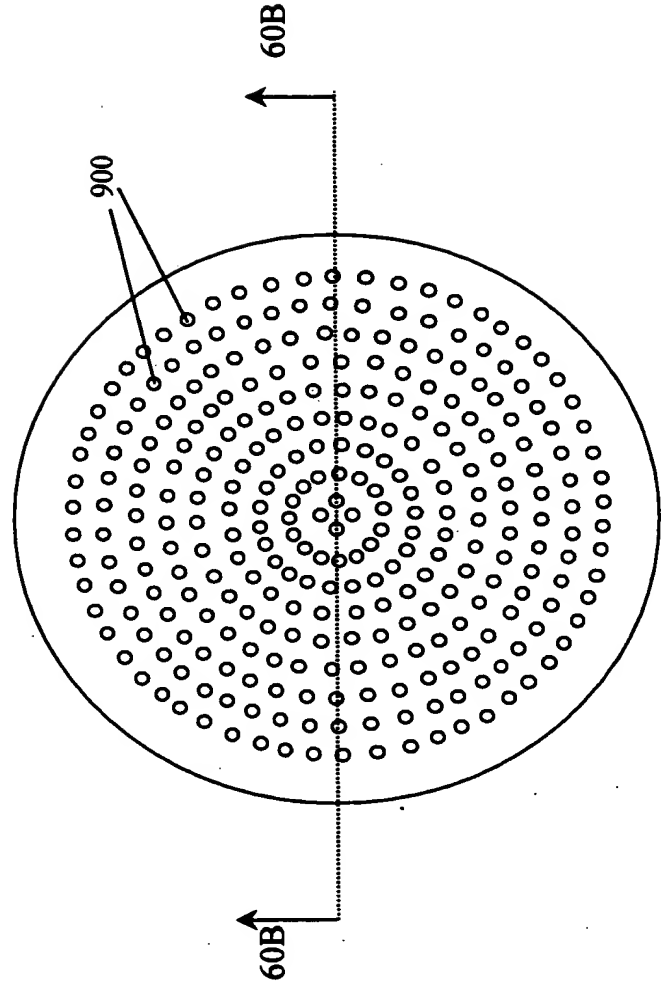


Fig. 60 A

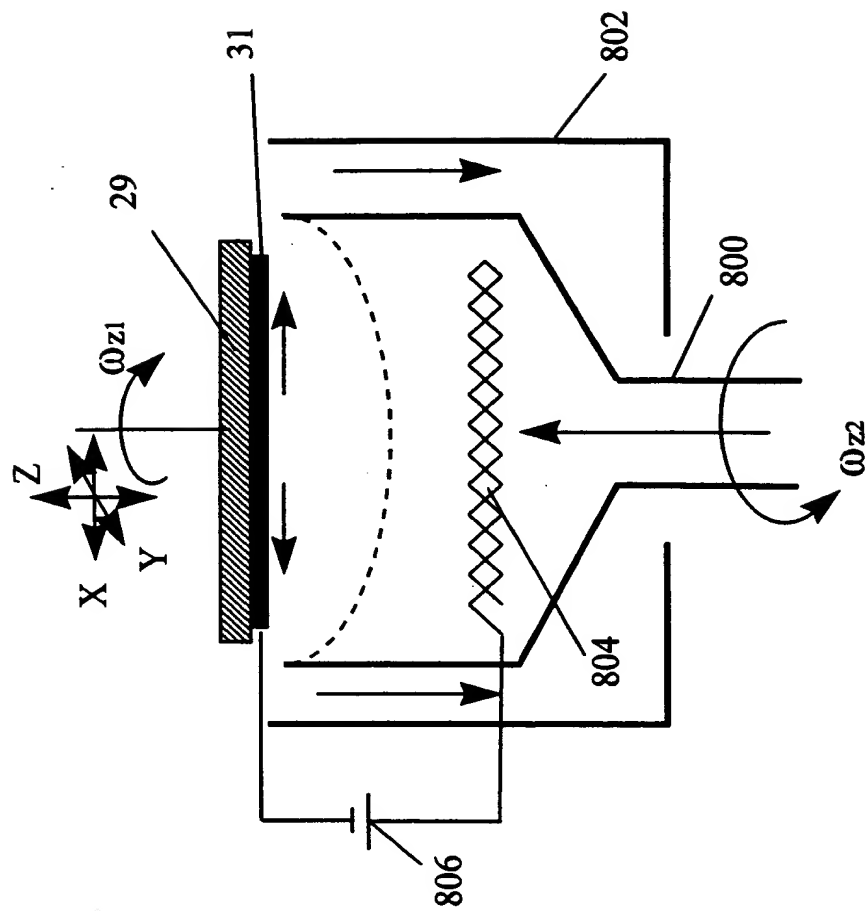


Fig. 61

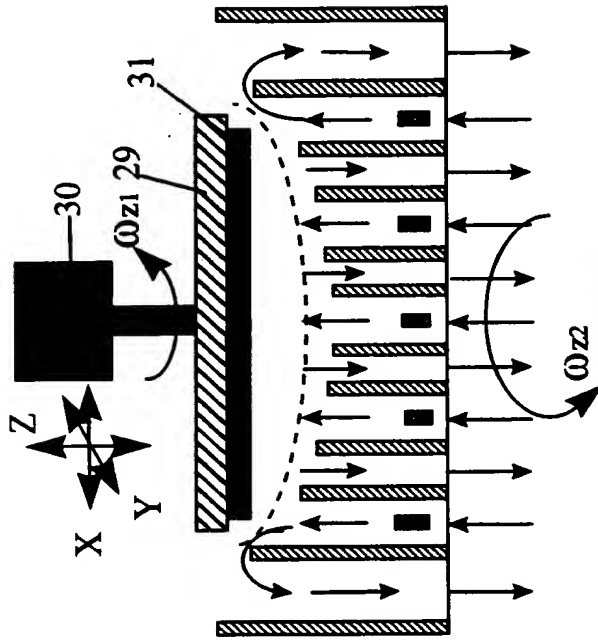


Fig. 62

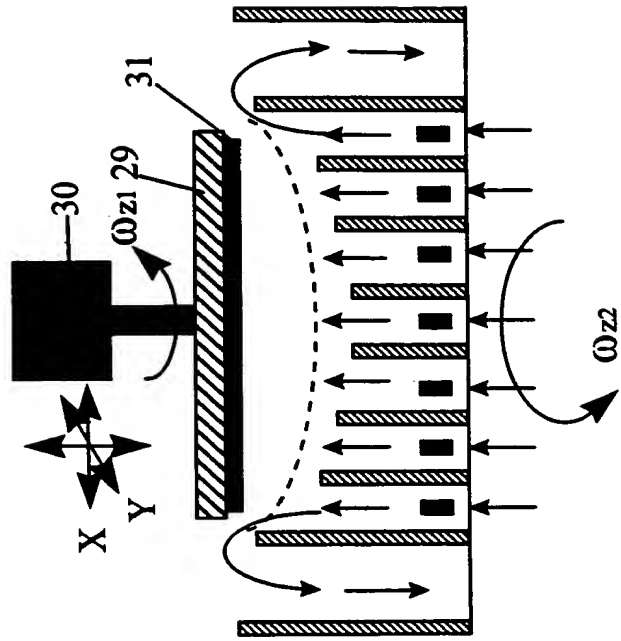


Fig. 63

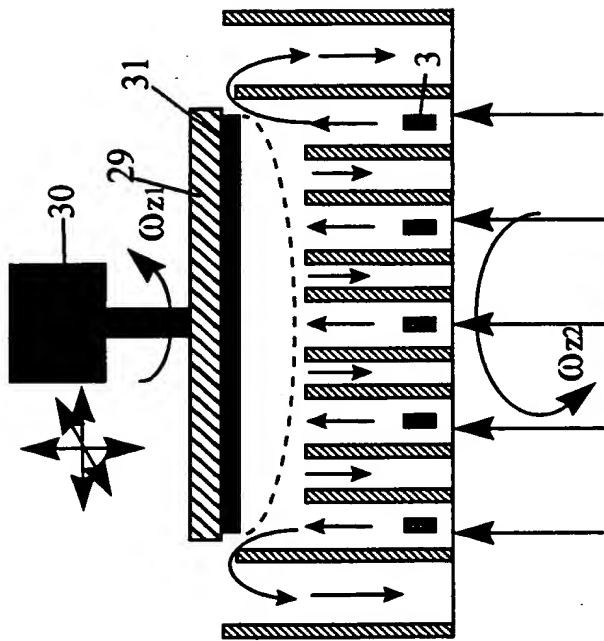


Fig. 64

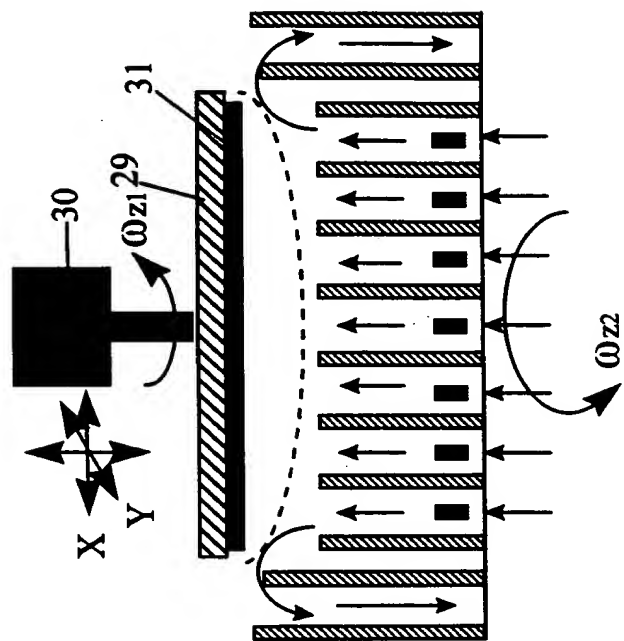


Fig. 65

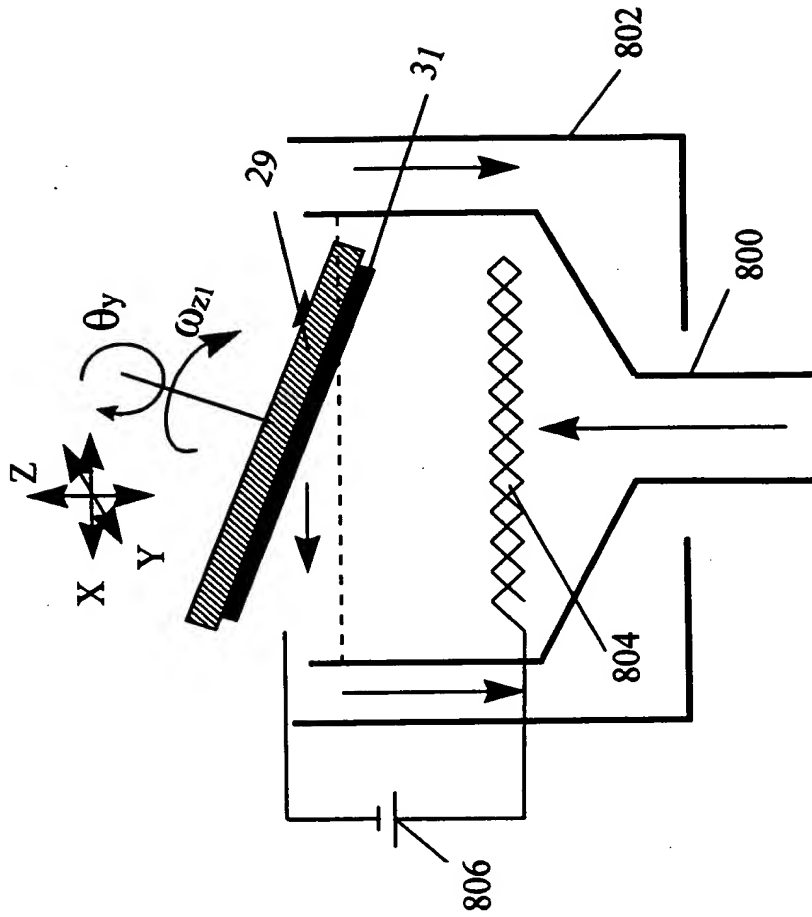


Fig. 66

Fig. 67

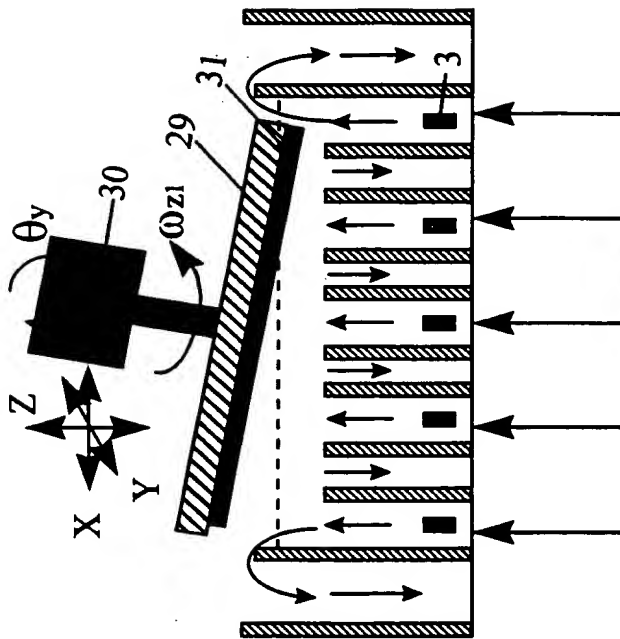
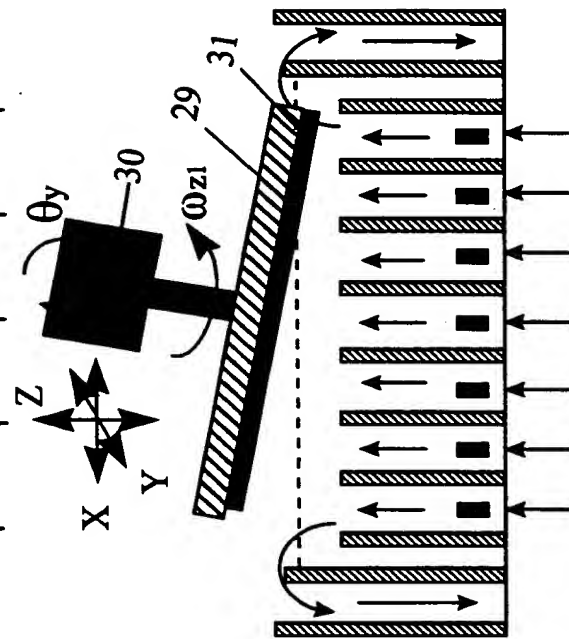


Fig. 68



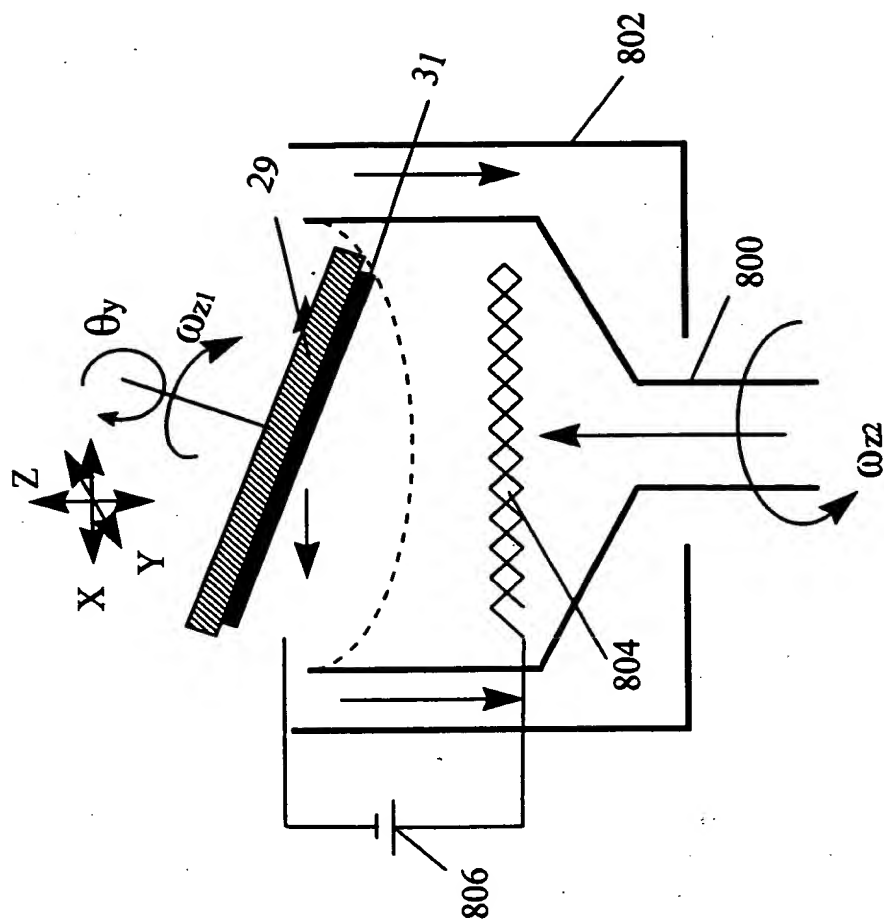


Fig. 69

Fig. 70

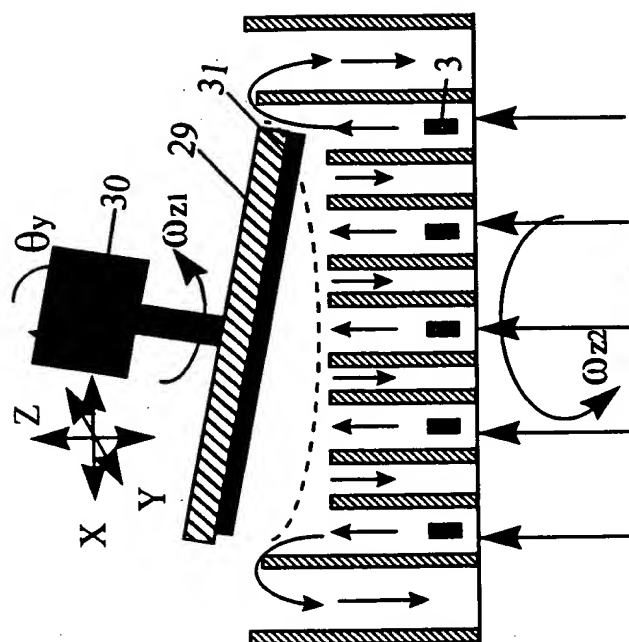


Fig. 71

